

# سترن مونتموریلولوئیت اصلاح شده با هگزادسیل تری متیل آمونیوم بروماید (HDTMA-Br) به عنوان یک جاذب کارآمد به منظور حذف آلاینده‌های آب همراه چاه نفتی

علیرضا پنداشته<sup>\*\*</sup>، سیده کبری عظیمی\*

دانشکده شیمی و مهندسی شیمی، دانشگاه گیلان، گیلان، ایران

**چکیده:** در این پژوهش، مونتموریلولوئیت اصلاح شده با هگزادسیل تری متیل آمونیوم بروماید (HDTMA-Br) از روش واکنش سدیم مونتموریلولوئیت با سورفکاتنت HDTMA-Br، تهیه شد. ساختار جاذب با استفاده از روش‌های XRD، BET، PSD، FT-IR، FESEM و TEM شناسایی شد. در ادامه، کارایی جاذب اصلاح شده به منظور حذف آلاینده‌های آب همراه چاه نفتی شامل کاهش اکسیژن مورد نیاز شیمیایی (COD)، اکسیژن مورد نیاز زیستی (BOD)، مواد جامد معلق (TSS)، نفت و چربی و کدروت از آب همراه نفتی مورد بررسی قرار گرفت. ظرفیت تبادل ۲۰۰ درصد برای مونتموریلولوئیت اصلاح شده به دست آمد. بیشینه حذف COD در شرایط بهینه دوز جاذب  $0.3/0.3$  گرم،  $7pH$  و زمان تماس ۴۵ دقیقه  $92/0.4$  درصد به دست آمد. از برتری‌های این روش می‌توان به ارزان، ایمن بودن، و قابلیت استفاده مجلد جاذب، زمان کوتاه انجام تصفیه، ظرفیت جذب بالا، جداسازی آسان جاذب از محیط واکنش اشاره نمود.

**واژگان کلیدی:** سدیم مونتموریلولوئیت، هگزادسیل تری متیل آمونیوم بروماید، آب همراه، جذب سطحی، کدروت، مدل ستیکی

**KEYWORDS:** Sodium montmorillonite, Hexadecyltrimethylammonium bromide, Produced water, Adsorption, Turbidity, Kinetic model

## مقدمه

بحران آب یک مشکل اساسی در سراسر جهان بهویژه در کشورهای در حال توسعه است که با افزایش جمعیت نیاز به آب تمیز نیز با همان سرعت افزایش می‌یابد. آب یکی از منابع طبیعی است که در زندگی روزمره انسان‌ها و کشورها و تداوم تولیدها نقش

\*+Email: arpendashteh@guilan.ac.ir

\*\* عهده‌دار مکاتبات

● آدرس دوم: پژوهشکده حوضه آبی دریای خزر، دانشگاه گیلان، گیلان، ایران

تولیدی برای تخلیه بر اساس کنوانسیون کویت  $15 \text{ mg/L}$  است. رشد روزافزون فعالیت‌های صنعتی از یکسو و عدم رعایت الزامات زیست محیطی و مدیریت نامناسب پسماندهای تولیدی از سوی دیگر، سبب شده در چند دهه اخیر مقدارهای زیادی از پسماندها به علت فعالیت‌های نفتی به محیط‌زیست راه پیدا کند. در صورتی که برنامه‌ریزی مناسب برای تصفیه یا حذف آب تولیدی قابل تخلیه به محیط‌زیست انجام نشود اثرهای هیدروکربن‌ها و مواد سمی موجود در آب تولیدی بر اکوسامانه، گیاهان، جانوران و انسان از مهم‌ترین مشکلات خواهد بود [۱]. امروزه توسعه روزافزون آگاهی عمومی درباره محیط‌زیست در فرایند تولید نفت و گاز سبب توجه شرکت‌ها به این امر مهم شده، به طوری که مسائل زیست محیطی نقش مهمی در انتخاب فناوری‌های جدید برای دفع این مواد و به حداقل رساندن آلودگی اینا می‌کنند [۲]. با توجه به توسعه روزافزون صنعت نفت و گاز در ایران و این که به‌طور معمول با گذشت زمان و به دلایل گوناگون تولید آب همراه نفت و گاز افزایش می‌باید درنظر گرفتن تمهیدات لازم برای کاهش این صدمات و پیشگیری از آن ضروری به نظر می‌رسد. امروزه انتخاب فناوری مناسب برای تصفیه آب تولیدی در سکوهای نفتی به عنوان یکی از مسائل مهم در بخش پسماندهای صنعت بالادستی نفت مطرح است. تاکنون روش‌های گوناگونی مانند روش‌های فیزیکی شامل (جذب، تبخیر، الکترودیالیز)، شیمیایی (ترسیب شیمیایی، اکسایش شیمیایی، الکتروشیمی، فنتون، اوزون)، زیستی (جن فعال، تصفیه غشاء‌ای) استفاده شده‌اند [۱۲].

یکی از موثرین و پرکاربردترین روش‌های مورد استفاده برای جمع‌آوری آلاینده‌های نفتی استفاده از جاذب‌ها است. در فرایند جذب سطحی مواد آلاینده با اتصال فیزیکی یا شیمیایی روی سطوح متخلخل جاذب از محلول اولیه جدا می‌شوند. تاکنون جاذب‌های آلی طبیعی، جاذب‌های آلی سنتزی و جاذب‌های معدنی گوناگونی بهمنظور حذف آلاینده‌های نفتی مورد استفاده قرار گرفته‌اند. عمدها در تصفیه آب همراه از کربن فعال، اورگانوکلی<sup>۱</sup>، کوپلیمرها، زئولیتها و رزین‌ها استفاده می‌شود. در این فرایند مواد آلی و فلزهای سنگین به سطح جاذب اتصال می‌یابند. به‌طور مثال، کربن فعال توانایی حذف ترکیب‌های هیدروکربن‌های تک‌حلقه‌ای بنزن، تولوئن، اتیل بنزن و زایلن<sup>۲</sup> (BTEX) محلول را دارد درحالی که اورگانوکلی موجب حذف هیدروکربن‌های آزاد نامحلول می‌شود. عملکرد جاذب‌ها با توجه به تعییرهای دما، ترکیب‌های پیچیده آلی و شوری بالا و غلظت پایین فلزهای سنگین و pH متفاوت است

سازمان‌های ذیربط را به عنوان چالش‌های پیش روی آب نام برده است. به‌دلیل توزیع غیریکنواخت آب شیرین، در آینده نزدیک، کمبود آب در برخی از مناطق جهان به عنوان یک مشکل جدی درخواهد آمد. فاکتورهای مربوط به زندگی بشری مانند آلوده کردن منابع آب از روش تولید آب‌های آلوده شهری، روستابی، کشاورزی، صنعتی، و دامی و عدم مدیریت منابع آب نیز نقش موثری در بروز این مشکل دارد. آلودگی آب نه تنها ممکن است با تغییرات فیزیکی و بیولوژیکی همراه باشد، بلکه به‌دلیل حل شدن فراینده مواد سمی و نامطلوب در آب، آلودگی شیمیایی نیز ممکن است ایجاد شود [۱]. یکی از منابع فراوانی که می‌توان با تصفیه مناسب، آن را تبدیل به آب مورد استفاده برای مصرف‌های صنعتی یا کشاورزی نمود و همزمان از ورود آلودگی‌های بسیار مضر به طبیعت جلوگیری کرد، تصفیه آب همراه تولید شده در فرایند استخراج نفت و گاز است. آب همراه (آب همراه نفت و گاز) بزرگ‌ترین جریان پساب در فعالیت‌های استخراج گاز و نفت می‌باشد. آب تولیدی همراه نفت که شامل مخلوطی از ترکیب‌های آلی و معدنی است بیشترین پسماند صنایع بالادستی نفت و گاز می‌باشد. با افزایش برداشت از مخازن زیرزمینی، روز به‌روز حجم این آب افزایش یافته و تخلیه نامناسب آن در خشکی و دریا مشکل‌های زیست محیطی زیادی به همراه خواهد داشت. بنابراین استفاده از روش مناسب تصفیه یا ترکیبی از روش‌های تصفیه برای کاهش یا حذف مواد آلاینده از پساب‌ها و استفاده مجدد از آن‌ها در صنایع بسیار ضرورت دارد [۱-۱۱].

یکی از مشکل‌های دائمی در تولید نفت و گاز، فرایند تولید آب از مخازن به عنوان جزء جدنشدنی فرایند تولید هیدروکربن‌هاست. این آب به دلیل مجاورت با مخازن از لحاظ کیفیت شبیه به نفت یا گاز تولیدی است که در صورت عدم تصفیه مطابق با استانداردهای زیست محیطی اعلام شده می‌تواند اثرهای زیان باری در پی داشته باشد. علاوه بر این در فرایند تولید نفت و گاز مواد گوناگونی استفاده می‌شوند که برخی از آن‌ها خطناک و سمی هستند و باید حذف گردند. در بسیاری از مناطق جهان قوانین و مقرراتی برای جلوگیری از آلودگی‌های زیست محیطی وضع شده و حتی در برخی مناطق بسیاری از فعالیت‌هایی که منجر به تولید پسماندهای خطناک نفت و گاز می‌شوند منع شده است. در خصوص موادی که از نظر زیست محیطی نگرانی قابل توجهی ایجاد می‌کنند، اغلب کشورها استانداردهای سخت و دقیقی برای تخلیه آب تولیدی تنظیم کرده‌اند [۱۲،۲]. در ایران میانگین روزانه حد مجاز نفت و روغن در آب

(۱) Organoclay

(۲) Benzene, toluene, and the three xylenes hydrocarbons

کند. بنابراین اورگانوکلی یک جاذب مناسب معرفی شد [۱۶]. کارولهو<sup>۱۰</sup> و همکاران در سال ۲۰۱۲ میلادی حذف هیدروکربن‌های تک‌حلقه‌ای و فنول را با استفاده از جاذب اورگانوکلی استمتیت<sup>۱۱</sup> اصلاح شده با سورفکتانت HDTMA-Br بررسی نمودند. کارایی ستیکی و تعادلی جذب در سامانه‌های تک حل‌شونده ۵۵ تا ۹۰ درصد در سامانه‌های چند حل‌شونده ۳۰ تا ۹۰ درصد در pH ۹ و در دمای ۲۹۷ کلوین بهدست آمد. مدل لانگمویر-فروندلیش با داده‌های تجربی و ضریب همبستگی ۰/۹۸ و ۰/۹۹ مطابقت داشت. فنول و اتیل بنزن پیشینه جذب ۸/۲۸ میلی‌گرم بر گرم و ۶/۶۷ میلی‌گرم بر گرم را در سامانه‌های تک حل‌شونده نشان دادند. تولوئن و پارا-زایلین بالاترین ثابت جذب را نشان دادند که متناسب با تمایل زیاد این ترکیب‌ها به جذب روی سطح اورگانوکلی بود. فنول ثابت جذب ستیکی پایینی را نشان می‌داد که نشان‌دهنده پایین بودن سرعت جذب بود [۱۷].

پارک<sup>۱۲</sup> و همکاران جذب بیس‌فنول را از محلول‌های آبی با استفاده از اورگانوکلی سنتز شده از مونتموریلوبونیت با مولکول‌های سورفکتانت متفاوت بررسی نمودند. اورگانوکلی‌های سنتز شده ظرفیت جذب ۲۵۶/۴۱ میلی‌گرم بر گرم را از روش تبادل کاتیون با DDTMA نشان دادند [۱۸]. پارک و همکاران اورگانوکلی بر پایه مونتموریلوبونیت را از روش برهmekنش سورفکتانت‌های کاتیونی دوسیل‌تری متیل‌آمونیوم‌برومید<sup>۱۳</sup> (DDTMA) و دی‌دوسیل‌دی‌متیل‌آمونیوم‌برومید<sup>۱۴</sup> (DDDMA) تهیه کردند. میزان بارگزاری سورفکتانت‌ها و شکل ساختاری آن‌ها بررسی شد. کارایی این ترکیب‌ها برای حذف پارا-کلروفنول و پارا-نیتروفنول از محلول‌های آبی در شرایط گوناگون بررسی شد. جایگیری سورفکتانت‌های حجمی‌تر در فضای بین لایه‌ای منجر به جذب مولکول‌های بزرگ‌تر آلایینده‌های آبی شد [۱۹].

موتنا<sup>۱۵</sup> و همکاران در سال ۲۰۱۴ میلادی خاک رس اصلاح شده با نمک آمونیوم نوع چهارم آلکیل‌دی‌متیل‌بنزن‌آمونیوم کلرید<sup>۱۶</sup> (ADMBAC) و دیس‌تری‌آریل دی‌متیل آمونیوم کلرید<sup>۱۷</sup> (DSDMAC) را تهیه نمودند و به عنوان جاذب نفت از تعلیق‌های

[۱۲]. خاک‌های رسی و اورگانوکلی‌ها به دلیل داشتن ویژگی‌های مانند ناحیه سطح بالا، امکان افزایش قابلیت آبگریزی، سرعت جذب بالا، دردسترس و ارزان بودن، امکان افزایش فضای بین لایه‌ای، ظرفیت جذب بالاتر قدرت جذب بالا برای حذف هیدروکربن‌های آبی و غیرآلی نسبت به سایر جاذب‌ها و افزایش ظرفیت جذب به عنوان یکی از کارآمدترین جاذب‌های مورد استفاده در حذف آلایینده‌های نفتی بشمرده شده‌اند [۱۴، ۱۳]. اصلاح خاک‌های رس با استفاده از ترکیب‌های آبی دوست ویژگی‌های جذبی آن‌ها را به خصوص برای مواد آبی افزایش می‌دهد. اصلاح سطح خاک رس توسط سورفکتانت، جاذب را از حالت آبدوست به حالت آبگریز یا آبی دوست تغییر می‌دهد. ترکیب‌های آبی مانند BTEX ها و هیدروکربن‌های آروماتیک چند‌حلقه‌ای<sup>۱</sup> (PAHs) تمایل زیادی برای جذب بر روی جاذب‌های آبی دارند [۱۵].

مک براید<sup>۲</sup> در سال ۱۹۷۷ میلادی، بوید<sup>۳</sup> در سال ۱۹۸۸ میلادی و بیوانز<sup>۴</sup> و همکاران در سال ۱۹۸۹ میلادی اثبات کردند که کاتیون‌های آمونیوم نوع چهارم مانند هگزادسیل‌تری‌متیل‌آمونیوم بروماید<sup>۵</sup> (HDTMA-Br) می‌توانند با خاک‌های رسی برهمنکنش داشته باشند و جایگزین کاتیون‌های معدنی روی سطح آن‌ها شوند. همچنین کاتیون‌های بزرگ‌تر از کاتیون‌های HDTMA می‌توانند در فضای بین لایه‌ای ترکیب‌های معدنی جایگزین شوند و یک فضای اضافی به منظور تسهیل جذب ترکیب‌های آبی ایجاد کنند [۱۵-۱۳]. موزاد<sup>۶</sup> و همکاران اورگانوکلی بنتونیت را به منظور حذف آلایینده‌های نفت از آب استفاده نمودند. غلظت نفت از ۲۶ تا ۳۸۱ میلی‌گرم بر لیتر متفاوت بود. مطالعه‌های آزمایشگاهی نشان داد زمان جذب نفت در همه تعلیق‌های نفتی کمتر از یک ساعت و ستیک جذب هم بر اساس معادله‌های شبه مرتبه اول لاگرگون<sup>۷</sup> و شبه مرتبه دوم هو<sup>۸</sup> و هم‌دمای جذب هم بر اساس مدل فروندلیش<sup>۹</sup> می‌باشد. میزان حذف مواد معدنی نفت ۸۸-۹۶ درصد، آب همراه ۸۸-۸۹ درصد و خروجی پالایشگاه ۵۵-۳۰ درصد بهدست آمد. اورگانوکلی توانست ۱۰۰ درصد نفت را از تعلیق‌های نفت-آب جدا

(۱) Polycyclic aromatic hydrocarbon

(۲) McBride

(۳) Boyd

(۴) Evans

(۵) Hexadecyltrimethylammonium bromide

(۵) Moazed

(۶) Lagergren

(۸) Ho

(۹) Freundlich model

(۱۰) Carvalho

(۱۱) Smectite

(۱۲) Park

(۱۲) Dodecyltrimethylammonium bromide

(۱۴) Didodecyldimethylammonium bromide

(۱۵) Mota

(۱۶) Dimethyl benzyl ammonium chloride

(۱۷) Distearyl dimethyl ammonium chloride

با هگزادسیل تری متیل آمونیوم بروماید (HDTMA) از روش واکنش سدیم مونتموریلونیت با سورفکتانت HDTMA-Br، تهیه شد. سپس ساختار جاذب تهیه شده با استفاده از روش‌های FT-IR، TGA، BET، PSD، FESEM، XRD و TEM شناسایی شد. در ادامه، کارایی جاذب اصلاح شده به منظور حذف آلاینده‌های آب همراه چاه نفتی شامل کاهش اکسیژن مورد نیاز شیمیایی (COD)، اکسیژن مورد نیاز زیستی (BOD)، مواد جامد معلق (TSS)، نفت و چربی و کدورت مورد بررسی قرار گرفت.

### بخش تجربی مواد و دستگاهها

همه مواد شیمیایی و حلال‌ها از شرکت‌های فلوكا، مرک و سیگما آلدريچ تهیه و بدون نیاز به خالص‌سازی بیشتر مورد استفاده قرار گرفتند. دستگاه pH متر مدل آکوالتیک<sup>(۱)</sup> AL15 برای اندازه‌گیری pH محلول‌ها مورد استفاده قرار گرفت. به منظور جadasازی جاذب اصلاح شده از دستگاه سانتریفیوژ (Kokusan-H108N) ساخت کشور ژاپن استفاده شد. فرایند جذب در یک واحد جارتست ۶ سلولی (شرکت فرآوران آزمون تجهیز شیمی گیلان، ساخت ایران) انجام شدند. برای گرم کردن نمونه‌ها برای تعیین اکسیژن مورد نیاز شیمیایی<sup>(۲)</sup> (COD) در دمای ۱۵۰ °C از دستگاه راکتور هاضم اکسیژن مورد نیاز شیمیایی، ساخت شرکت آکوالتیک کشور آلمان مدل 125AL استفاده شد و برای خواندن COD نمونه‌ها نیز از دستگاه COD متر آکوالتیک مدل AL 100 استفاده شد. مواد آلتی غیرقابل تجزیه بیولوژیکی معمولاً به وسیله آزمایش اکسیژن مورد نیاز شیمیایی اندازه‌گیری می‌شوند. COD یک پساب و یا آب آلوده میزان اکسیژن مورد نیاز برای اکسیداسیون مواد قابل اکسید شدن در یک لیتر آن می‌باشد. برای تعیین اکسیژن مورد نیاز زیستی (BOD) از دستگاه BOD ساخت شرکت آکوالتیک کشور آلمان مدل BOD600 استفاده شد. مقدار اکسیژن لازم برای تجزیه بیولوژیک مواد آلتی موجود در یک لیتر پساب به روش هوازی در زمان و دمای معین را BOD گویند. طیف‌های فروسرخ (FT-IR) با استفاده از طیف سنج مدل (Shimadzu, FT-IR-8900) گزارش

نفت-آب مورد استفاده قرار دادند. فضای بین لایه‌ای در خاک رس ۲/۲۵ نانومتر با نمک ADMBAC ۱/۹۶ نانومتر و برای نمک ۱/۵۶ نانومتر در مقایسه با خاک رس اصلاح نشده (۱/۵۶ نانومتر) مشاهده شد. بیشترین ظرفیت جذب برای هر دو خاک رس اصلاح شده حدود ۴۸ میلی‌گرم بر گرم به دست آمد [۲۰]. در پژوهشی که توسط /یلزه‌ر<sup>(۳)</sup> و /اهزمی<sup>(۴)</sup> انجام شد خاک معدنی رس اصلاح شده از روش تبادل سورفکتانت HDTMA-Br روی سطح خاک رس بتونیت تهیه شد. سنتز ترکیب با آنالیزهای طیف سنجی فروسرخ (FT-IR)، آنالیز تفرق اشعه ایکس (XRD) و آنالیز توزیں گرمایی (TGA) به منظور تعیین گروه‌های سطحی، فضای بین لایه‌ای، و پایداری گرمایی بررسی شد. کارایی اورگانوکلی تهیه شده برای حذف هیدروکربن‌ها و لکه‌های نفتی (بنزن و نفت سفید) از روش تأثیر پارامترهای گوناگونی مانند زمان تماس، غلظت جاذب و غلظت HDTMA مورد بررسی قرار گرفت. نتیجه‌ها نشان داد که ظرفیت جذب اورگانوکلی سنتزی در مقایسه با نمونه اولیه قابل توجه بود به طوری که ظرفیت جذب بیش از ۵ میلی‌گرم بر گرم برای نفت سفید و ۷ میلی‌گرم بر گرم برای بنزن پس از ۲۴ ساعت زمان تماس به دست آمد [۲۱].

خاک‌های رس معدنی آلتی<sup>(۵)</sup> (IOCs) با سورفکتانت‌های اکتابدیل تری متیل آمونیوم برومید<sup>(۶)</sup> (ODTMA) (آلی دوست) و هیدروکسی الومینیوم (معدنی دوست) به منظور حذف بیس‌فنول بررسی شدند. ظرفیت جذب بیشینه لانگمویر برای خاک‌های رس معدنی آلتی بیش از ۱۰۹/۸۹ میلی‌گرم بر گرم به دست آمد که به میزان بارگزاری ODTMA روی سطح بستگی داشت. برهمکنش‌های آبگریز میان زنجیره‌های آکلیل از ODTMA و بیس‌فنول موجب جذب بیس‌فنول روی کلی‌های معدنی آلتی شد [۲۲]. اغلب این روش‌ها تنها مناسب برای پیش‌تصفیه بوده و بنابراین به منظور مصرف مجدد و یا تخلیه به منابع پذیرنده مشخص نیاز به تصفیه تکمیلی و موثر خاص خود دارند [۱۲].

بنابراین توسعه یک جاذب ارزان، دردسترس، با ظرفیت جذب بالا و جadasازی آسان از محیط واکنش و قابلیت استفاده مجدد مورد بررسی قرار گرفت. در این راسته، ابتدا مونت‌موریلونیت اصلاح شده

(۱) El-Zahhar

(۲) Fourier-transform infrared spectroscopy

(۳) Thermal Gravimetry Analysis

(۴) Octadecyltrimethylammonium bromide

(۵) Biochemical oxygen demand

(۶) Aqualytic

(۷) Al-Hazmi

(۸) X-Ray Diffraction

(۹) Inorganic/organic clays (IOCs)

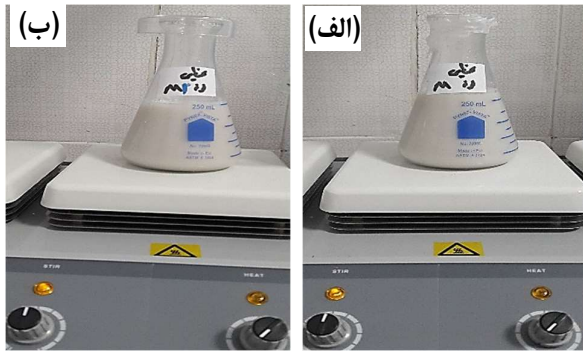
(۱۰) Chemical oxygen demand

(۱۱) Total suspended solids

(۱۲) Chemical Oxygen Demand



شکل ۲ - تست نیترات نقره واکنش سدیم مونتموریلونیت اصلاح شده با سورفکتانت HDTMA-Br



شکل ۱ - واکنش (الف) سدیم مونتموریلونیت (ب) مونتموریلونیت اصلاح شده با سورفکتانت HDTMA-Br

N ۱ سدیم کلرید در دمای ۲۵ درجه سلسیوس به مدت ۲۴ ساعت مخلوط و همزده شد. سپس محلول با استفاده از دستگاه سانتریفیوژ با سرعت ۵۰۰۰ rpm به مدت ۱۵ دقیقه جداسازی شده و به منظور حذف کلرید با آب مقطر شستشو داده شد. در مرحله بعدی به منظور اصلاح سدیم مونتموریلونیت با سورفکتانت HDTMA-Br، مقدار ۵ گرم از سدیم مونتموریلونیت با مقدار ۲۰۰ و ۶/۴۸۰ گرم از سورفکتانت معادل با ۱۵۰ درصد و ۴/۸۶۰ درصد ظرفیت تبادل سدیم مونتموریلونیت در ۱۰۰ میلی لیتر آب مقطر و به مدت ۲۴ ساعت همزده شد (شکل ۱). پس از سپری شدن زمان واکنش، به منظور جدا کردن یون های بر ماید از مونت-موریلونیت های اصلاح شده، جاذب چندین بار با آب مقطر شستشو داده شد تا جایی که کدورت قابل مشاهده در آب شستشو کاهش یابد. این فرایند توسط تست نقره نیترات نیز مورد تأیید قرار گرفت (شکل ۲) [۲۴]. بدین صورت که با افزودن محلول نقره نیترات ۱ مولار به پساب به دست آمده از شستشوی جاذب اصلاح شده محلول از حالت شیری رنگ پس از پنج بار شستشو به شکل تقریباً بیرنگ تبدیل شد (شکل ۲). در پایان جاذب در آون با دمای ۶۰-۶۵ درجه سلسیوس به مدت ۲۴ ساعت خشک شد.

#### آب همراه چاه فنتی

به منظور انجام آزمایش های تصفیه، یک مخزن ۲۰ لیتری از آب همراه به آزمایشگاه آب و پساب دانشگاه گیلان انتقال یافت و تا زمان استفاده در یخچال نگهداری شد. نمونه مورد استفاده به عنوان آب همراه از واحد بهره برداری اهواز بود.

شده است. ساختار بلوری و تعیین نوع فازهای مونتموریلونیت اصلاح شده با استفاده از طیف سنج پراش پرتو XRD <sup>۱</sup>X-ray (PHILIPS PW1730) و تابش Cu-Ka در گستره نرمال <sup>۲</sup> با ۱۰-۸۰ (۲۰) شناسایی شد. میزان تخلخل جاذب اصلاح شده با استفاده از هم دماهای جذب و واجذب Barrett-Joyner-Halenda (BJH) و ناحیه سطح ویژه با روش Brunauer-Emmett-Teller (BET) تعیین شد. هم دماهای جذب و واجذب در ۷۷ K و با دستگاه BELSORP-mini II, (BEL-Japan) اندازه گیری شدند. میکروسکوپ الکترونی روبشی <sup>۳</sup> از نوع اندازه گیری TE-SCAN (۱۵ kV) و اسپیکتروفوتومتر پراش انرژی پرتو ایکس <sup>۴</sup> (EDX) برای تعیین ریخت شناسی (ریخت شناسی) و اندازه کاتالیست Lutron نوری استفاده شد. کدورت نمونه ها با استفاده از کدورت سنج مدل Tu-2016 ساخت کشور تایوان بررسی شد.

#### روش تهیه جاذب مونتموریلونیت اصلاح شده با HDTMA

ابتدا به منظور اصلاح خاک رس مونتموریلونیت با سورفکتانت HDTMA-Br، مقدار ظرفیت تبادل کاتیونی <sup>۵</sup> (CEC) سورفکتانت از منابع استخراج شد. مقدار CEC برای این سورفکتانت، عدد ۱۰.۸ میلی اکی و الان در ۱۰۰ گرم گزارش شده است [۲۳]. در مرحله اول، به منظور افزایش فضای بین لایه های مقدار ۶ گرم مونتموریلونیت به مدت ۲۴ ساعت در ۲۰۰ میلی لیتر آب مقطر در دمای محیط (۲۵ درجه سلسیوس) همزده شد. در ادامه سدیم مونتموریلونیت از روش واکنش تبادلی با سدیم کلرید تهییه شد. به این منظور مونت-موریلونیت به دست آمده از مرحله پیش با ۲۰۰ میلی لیتر از محلول

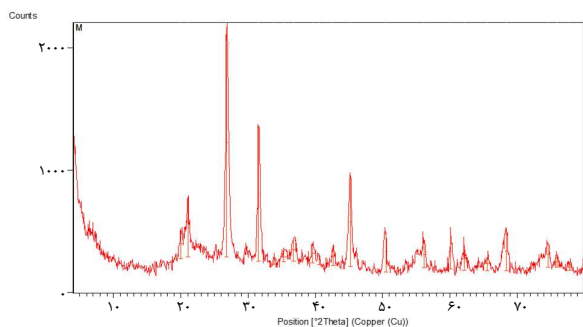
(۱) X-ray diffraction spectrometer

(۲) XRD normal

(۳) Scanning electron microscopy

(۴) Energy-dispersive X-ray

(۵) Cations-exchange-capacity

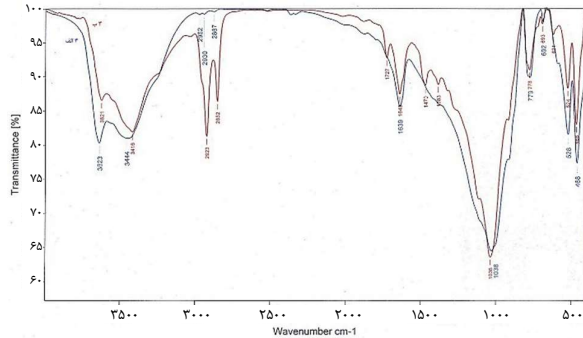


شکل ۴ - طیف XRD مونتموریلونیت اصلاح شده

متقارن و نامتقارن پیوند (C-C) یا (C-H) در زنجیره آلکیل می‌باشد که نشان‌دهنده بارگذاری سورفکتانت روی سطح جاذب و در فضای بین لایه‌ای است. اتصال سورفکتانت با سطح مونتموریلونیت از سر گروه آمونیوم انجام می‌شود. پیک‌ها در ناحیه ۱۶۴۰ بر سانتی‌متر نیز مربوط به ارتعاش‌های خمشی گروه هیدروکسیل (OH) است. انتقال پیک‌های مشاهده شده در ۱۰۳۸ به ۱۰۳۶ بر سانتی‌متر، پیک موجود در ۵۲۸ به ۵۲۴ بر سانتی‌متر و پیک ۴۶۸ نیز به ۴۶۶ بر سانتی‌متر با منابع مطابقت دارد که مربوط به اتصال سورفکتانت در فضای بین لایه‌ای مونتموریلونیت می‌باشد [۲۴].

**آنالیز طیف پراش پرتو X مونتموریلونیت اصلاح شده**  
 طیفسنج پراش پرتو X-ray (PHILIPS, CM120, Netherlands) و تابش XRD نرمال با (۱۰-۸۰) برای تعیین ساختار مونتموریلونیت اصلاح شده بررسی شد که در شکل ۴ نشان داده شده است. آنالیز پراش پرتو X مونتموریلونیت اصلاح شده با کد استاندارد ۰-۰۶۵-۰۴۶۶ در ۲۰، ۲۱/۰<sup>۰</sup>، ۳۶/۷<sup>۰</sup>، ۷۵/۸<sup>۰</sup>، ۶۵/۵<sup>۰</sup>، ۵۰/۴<sup>۰</sup>، ۴۰/۰<sup>۰</sup>، ۴۲/۶<sup>۰</sup>، ۳۹/۵<sup>۰</sup> و ۷۷/۸<sup>۰</sup> نیز مشاهده شد که با فرمول شیمیایی ترکیب سیلیسیوم اکسید ( $\text{SiO}_2$ ) در ساختار مونتموریلونیت مطابقت داشت. پراش پرتو X مونتموریلونیت اصلاح شده با کد استاندارد ۰-۰۰۳-۰۰۱۴ در ۲۰، ۲۱/۰<sup>۰</sup>، ۳۵/۲<sup>۰</sup>، ۴۵/۲<sup>۰</sup>، ۵۶/۱<sup>۰</sup>، ۶۲/۱<sup>۰</sup> و ۶۸/۳<sup>۰</sup> با فرمول شیمیایی ترکیب منیزیم اکسید ( $\text{MgO}$ )، آلومینیوم اکسید ( $\text{Al}_2\text{O}_3$ ) و سیلیسیوم اکسید ( $\text{SiO}_2$ ) در ساختار مونتموریلونیت تطابق داشت. همچنین پراش‌های با کد استاندارد ۰-۰۷۵-۰۰۷۵ در ۲۰، ۳۱/۵<sup>۰</sup>، ۴۵/۲<sup>۰</sup>، ۵۶/۱<sup>۰</sup> و ۷۶/۵<sup>۰</sup> با فرمول شیمیایی ترکیب کلسیم سولفید (CaS) مطابقت داشت.

(۱) XRD normal

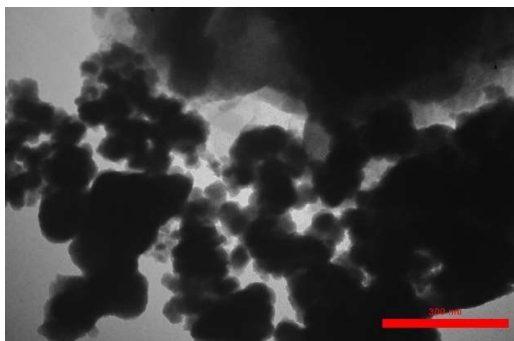


شکل ۳ - طیف فروسرخ مونتموریلونیت (الف) پیش از اصلاح، طیف (ب) پس از اصلاح

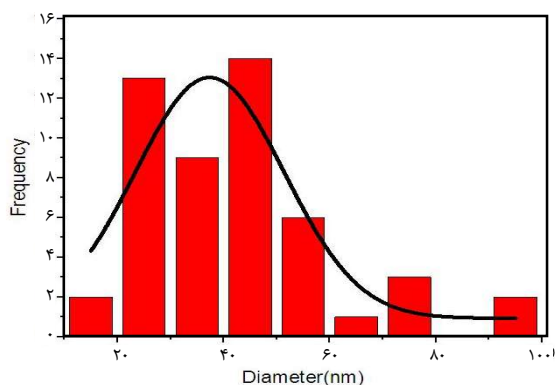
## نتیجه‌ها و بحث

### آنالیز طیف سنجی فروسرخ مونتموریلونیت اصلاح شده

آنالیز طیف سنجی فروسرخ، به منظور شناسایی گروه‌های عاملی جاذب استفاده شد (شکل ۳). طیف فروسرخ مونتموریلونیت پیش از اصلاح در شکل ۳-الف و طیف فروسرخ مونتموریلونیت پس از اصلاح با سورفکتانت HDTMA-Br در شکل ۳-ب نشان داده شده است. طیف فروسرخ نمونه‌ها در گستره عدد موج ۴۰۰-۴۰۰۰ بر سانتی‌متر مربوط به ارتعاش‌های کشنی گروه هیدروکسیل (OH) و ارتعاش‌های کشنی پیوند هیدروژنی بین مولکول‌های آب جذب شده روی سطح یا حفره‌های جاذب می‌باشد. ارتعاش‌های خمشی گروه هیدروکسیل (OH) نیز در ۱۶۳۹ بر سانتی‌متر نشان داده شده است. پیک نشان داده شده در ناحیه ۱۰۳۸ بر سانتی‌متر مربوط به ارتعاش‌های کشنی گروه (Si-O) و پیک‌های نشان داده شده در ۵۲۸ و ۴۶۸ بر سانتی‌متر نیز مربوط به ارتعاش‌های کشنی گروه (Al-O-Si) و (Si-O-Si) می‌باشند که از پیک‌های شاخص مونتموریلونیت هستند [۲۶، ۲۵]. طیف فروسرخ مونتموریلونیت پس از اصلاح با سورفکتانت HDTMA-Br در شکل ۳-ب نشان داده شده است. پیک‌های پهن در ناحیه ۳۶۲۱ و ۳۴۱۶ بر سانتی‌متر مربوط به ارتعاش‌های کشنی گروه عاملی هیدروکسیل سورفکتانت بارگذاری می‌باشند. ارتعاش‌های کشنی گروه هیدروکسیل (OH) و ارتعاش‌های کشنی پیوند هیدروژنی بین مولکول‌های آب جذب شده روی سطح یا حفره‌های جاذب نیز در این ناحیه مشاهده می‌شود. پیک‌ها در ۲۹۲۳ و ۲۸۵۲ بر سانتی‌متر مربوط به ارتعاش‌های کشنی



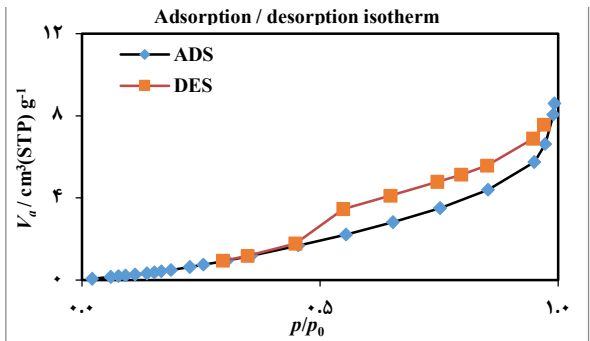
شکل ۷ - تصویرهای میکروسکوپ الکترونی روبشی نشر میدانی مونتموریلوونیت اصلاح شده



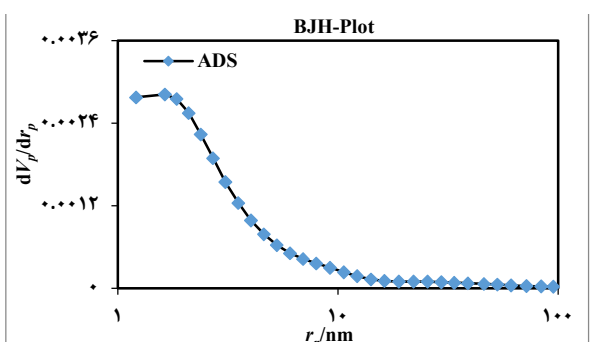
شکل ۸ - هیستوگرام توزیع اندازه ذرهای مونتموریلوونیت اصلاح شده

#### آنالیز طیف میکروسکوپ الکترونی روبشی نشر میدانی مونتموریلوونیت اصلاح شده

تصویر به دست آمده از میکروسکوپ الکترونی روبشی نشر میدانی<sup>۱</sup> (FESEM) به منظور تعیین ریختشناسی جاذب اصلاح شده مورد استفاده قرار گرفت که در شکل ۷ نشان داده است. همان‌گونه که از تصویر مشخص است، مونتموریلوونیت اصلاح شده دارای اشکال نسبتاً کروی یکنواخت و منظم می‌باشد. توزیع اندازه حفره‌ها به منظور تعیین گستره اندازه حفره‌ها بررسی شد. هیستوگرام توزیع اندازه ذرهای  $37/37$  نانومتر در شکل ۸ نشان داده است که این مقدار بیشتر از مقدار مشاهده شده برای انواع خاکهای رس ( $10-50$  میکرومتر) می‌باشد. هیستوگرام یک نوع روش ترسیمی است که فراوانی نسبی اندازه ذرهای به وسیله مانند گوناگون در آن نشان داده شده می‌شود. توزیع اندازه حفره‌ها در جاذب اصلاح شده نشان دهنده برهمنکش با سورفکتانت HDTMA-Br در فضای بین لایه‌ای و سطح مونتموریلوونیت است [۲۹].



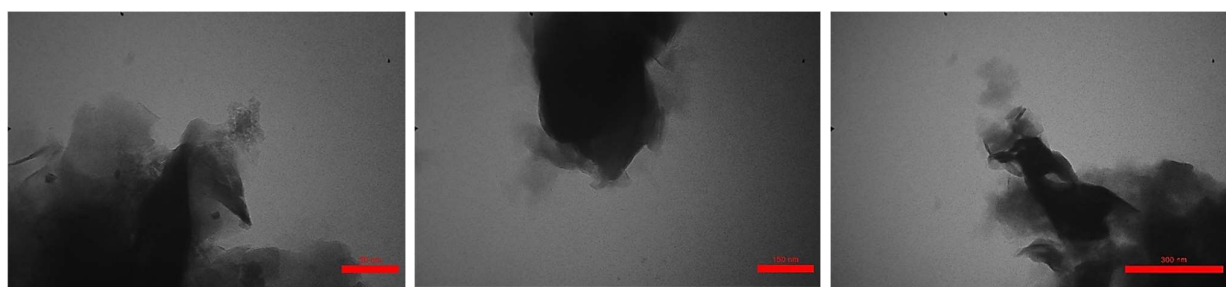
شکل ۵ - هم‌دما جذب و اجذب مونتموریلوونیت اصلاح شده در دمای ۷۷k



شکل ۶ - هم‌دما قطر متوسط حفره‌ای مونتموریلوونیت اصلاح شده در دمای ۷۷k

**آنالیز طیف جذب و اجذب نیتروژن مونتموریلوونیت اصلاح شده**  
طیف جذب و اجذب نیتروژن مونتموریلوونیت اصلاح شده در شکل ۵ نشان داده شده است. مساحت ناحیه سطح BET  $1/8^3$  متر مربع بر گرم به دست آمد که در مقایسه با نمونه مونتموریلوونیت (۴۲/۷۱ متر مربع بر گرم) کاهش قابل دیده‌ای داشت که نشان دهنده قرارگیری سورفکتانت روی سطح مونتموریلوونیت و در فضای بین لایه‌ای می‌باشد [۲۷]. مطابق با دسته‌بندی آیوپاک، هم‌دهمهای جذب و اجذب از نوع چهارم هستند که متناسب با هم‌دما ترکیب‌های مزوحفه است [۲۸]. هم‌دما نوع چهارم مربوط به مواد مزوحفه است و مهم‌ترین مشخصه آن، هیسترزیس لوب است که مربوط به میغانات حفره‌ها است. جذب محدود در فشارهای نسبی بالا، منجر به مسحط شدن هم‌دما می‌شود که نشان دهنده پر بودن کامل حفره‌ها است [۲۸]. حجم کلی حفره‌ها در  $P/P_0 = 0.990$  مقدار  $0.0121 \text{ m}^2/\text{g}$  سانتی‌متر مکعب بر گرم از روش آنالیز BET به دست آمده است. منحنی به دست آمده نشان دهنده ساختار مزوحفه بود. قطر متوسط حفره‌ها  $26/38$  نانومتر به دست آمد. هم‌دما قطر متوسط حفره‌ها در شکل ۶ نشان داده شده است.

(۱) Field emission scanning electron microscopy



شکل ۹ - تصویرهای میکروسکوپ الکترونی عبوری مونتموریلوئنیت اصلاح شده

جدول ۱ - ترکیب‌های موجود در آب همراه خام

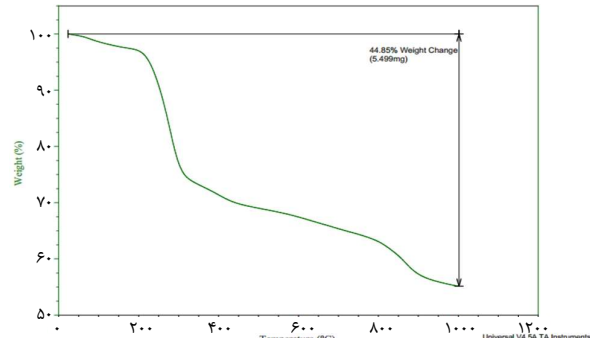
واحد	مقدار اندازه‌گیری شده	پارامتر	ردیف
-	۵/۱۲	pH	۱
mg/L	۲۰۱۸	TSS	۲
mg/L	۲۰۵۰	COD	۳
mg/L	۱۰۳۴	BOD	۴
mg/L	۱۶۹۳۹۰	TDS	۵
mg/L	۲۰/۷۵	فسفر کل	۶
mg/L	۹۰/۸	نفت و چربی	۷
mS	۴۱/۵	هدایت	۸
NTU	۴۳۵	کدروت	۹

سه مرحله شکست را نشان داد. در مرحله اول و در بازه دمایی ۱۱۰ سلسیوس کاهش وزن مربوط به خروج مولکول‌های آب مشاهده شد. در مرحله دوم و در بازه دمایی ۲۰۰ تا ۲۱۵ سلسیوس و ۳۰۰-۳۵۰ سلسیوس بیشینه کاهش وزن مشاهده شد که مربوط به تخریب گرمایی زنجیر آلکیل و گروه آمونیوم آلکیل می‌باشد [۳۱]. در مرحله سوم از طیف TGA، کاهش وزن در بالاتر از ۶۰ سلسیوس مشاهده شد که به تخریب زنجیر آلکیل باقی‌مانده نسبت داده می‌شود. این نتیجه‌ها نشان داد که HDTMA-Br روی سطح و به جای گروه هیدروکسیل جایگزین شده است [۳۰].

### آنالیز آب همراه چاه فنتی

ویژگی‌های آب همراه تهیه شده مورد آزمایش قرار گرفت که نتیجه‌های آن در جدول ۱ نشان داده شده است. نکته قابل توجه آن است که از آن جایی که میزان کل جامدات م محلول (TDS) شامل نمک سدیم کلرید محلول در نمونه‌های آب همراه بالا است و در اندازه‌گیری میزان اکسیژن مورد نیاز شیمیایی (COD) اختلال ایجاد می‌کند بنابراین ابتدا میزان TDS با دو روش دستگاهی

(۱) Field emission scanning electron microscopy



شکل ۱۰ - آنالیز پایداری گرمایی مونتموریلوئنیت اصلاح شده

آنالیز طیف میکروسکوپ الکترونی عبوری مونتموریلوئنیت اصلاح شده تصویر به دست آمده از میکروسکوپ الکترونی عبوری (TEM) به منظور شواهدی از فضای بین لایه‌ای از مونتموریلوئنیت اصلاح شده مورد استفاده قرار گرفت که در شکل ۹ نشان داده شده است. دو ناحیه رنگی با دو دانسیته الکترونی مختلف وجود دارد. وجود ذره‌های مونتموریلوئنیت و همزمان حضور سورفکتانت HDTMA-Br ناحیه‌های تیره‌تر را نشان می‌دهد. وجود سورفکتانت HDTMA-Br می‌تواند به صورت ناحیه‌های خاکستری نشان داده شود. این نتیجه‌ها ممکن است می‌تواند حضور سورفکتانت در روی سطح و فضای بین لایه‌ای مونتموریلوئنیت باشد [۳۰]. اتصال سورفکتانت در فضای بین لایه‌ای مونتموریلوئنیت از روشن طیف فروسرخ اثبات شده است [۲۴].

### آنالیز طیف پایداری گرمایی مونتموریلوئنیت اصلاح شده

آنالیز پایداری گرمایی (TGA) مونتموریلوئنیت اصلاح شده برای تعیین میزان پایداری گرمایی مونتموریلوئنیت اصلاح شده مورد بررسی قرار گرفت که در شکل ۱۰ نشان داده شده است. کاهش وزن به علت وجود ترکیب‌های فرار در دماهای بالا در طیف TGA بررسی می‌شود. طیف TGA مونتموریلوئنیت اصلاح شده،

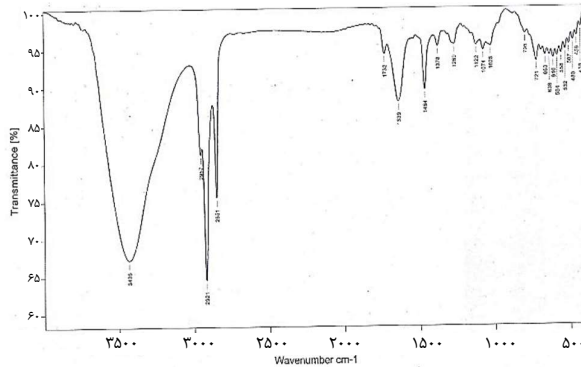
(۲) Termogravimetric Analysis

### آزمایش محاسبه میزان نفت و چربی در آب همراه

در این پژوهش از روش مبتنی بر جاذبه‌سنگی برای محاسبه میزان نفت و چربی آب همراه استفاده شد. روش‌های مبتنی بر جاذبه‌سنگی می‌تواند هر ماده‌ای که قابلیت استخراج توسط حلال را دارد و در طی تبخیر حلال حذف نمی‌شود و سپس قابلیت سنجهن جرمی را دارند (همانند هیدروکربن‌ها، چربی‌های حیوانی، مواد، صابون‌ها، گربس‌ها و مواد زیستی مرتبط) را اندازه‌گیری نماید. بعضی از روش‌های جاذبه‌سنگی، مرحله‌ای همانند استفاده از سیلیکاژل برای تمیز کردن و حذف مواد به علت تولیدات زیستی دارند. دستورالعمل‌های متعددی همچون 9070 EPA SW-846 کل نفت و چربی‌های قابل بازیافت، برای اندازه‌گیری میزان نفت و چربی ارایه شده است [۳۳]. روش 9071 EPA برای لجن‌های نفتی هنگامی که نمونه شامل نسبت‌های سنگین و قطبی از نفت باشد همانند لیپیدهای زیستی، هیدروکربن‌هایمعدنی و بعضی از پساب‌های صنعتی پیشنهاد شده است [۳۴]. EPA با ارایه روش ۱۶۶۴ با عنوان تعیین مواد قابل استخراج توسط نرمال هگزان که توسط سیلیکاژل در آب‌های سطحی و شور و پساب‌های صنعتی و شهری جذب نمی‌شوند، روشی جایگزین را برای جلوگیری از استفاده فرون ۱۱۳ ارایه داده است [۳۵]. در این روش، ابتدا به منظور تعیین مقدار مناسب نمونه نفت و آب همراه نسبت‌های گوناگونی از آب همراه و نرمال هگزان با هم مخلوط شدند. سپس، مقدار ۲۵۰ میلی‌لیتر آب همراه با مقدار ۱۵ میلی‌لیتر نرمال هگزان سه بار استخراج شد. در ادامه، محلول نرمال هگزان در آون با دمای ۸۵ درجه سلسیوس تبخیر شد. مقدار نفت و چربی در نمونه آب همراه ۹۰/۸ میلی گرم بر لیتر به دست آمد.

### آزمایش‌های برسی کارایی مونتموریلوبونیت اولیه و اصلاح شده آزمایش‌های برسی کارایی مونتموریلوبونیت اولیه به منظور حذف آلانینه آب همراه چاه نفت

در این پژوهش، شاخص COD به عنوان شاخص تعیین کننده میزان آلودگی پساب انتخاب شد. فرایند جذب در یک واحد جارتیت ۶ سلولی انجام شد. مقدار ۱۰۰ میلی‌لیتر از نمونه آب همراه در هر آزمایش استفاده شد. مدت زمان جارتیت یک ساعت با دور ۱۸۰، ۰/۵ گرم انتخاب شدند. مدت زمان جارتیت به مدت ۳۰ دقیقه بود و در انتهای نمونه‌ها فیلتر و جداسازی شدند. نتیجه‌های مربوط به فرایند جذب با جاذبه‌ای مونتموریلوبونیت در جدول ۲ نشان داده شده است. مقدار pH نمونه‌ها ۵/۱۲ بود. با افزایش دوز کاتالیست از



شکل ۱۱ - طیف FT-IR آب همراه چاه نفتی

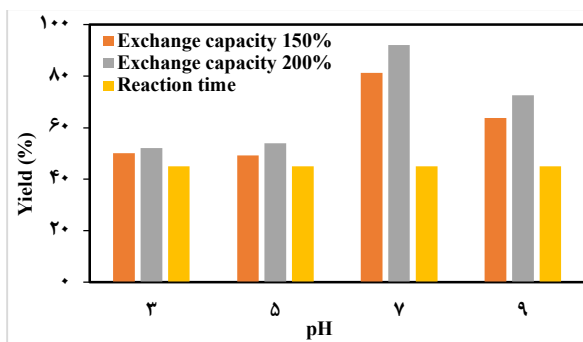
(TDS=۱۷۰۰۰) و روش وزن‌سنگی (TDS=۱۶۹۳۹) ارزیابی شد. در ادامه محلولی با این غلظت از نمک سدیم کلرید تهیه شد و اکسیژن مورد نیاز شیمیایی مربوط به آن مقدار ۲۲۴۰ میلی‌گرم بر لیتر به دست آمد. این مقدار از میزان COD اندازه‌گیری شده در آب همراه کم شد تا میزان واقعی COD به دست آید. ترکیب‌های موجود در آب همراه در جدول ۱ نشان داده شده است [۳۲]. هیدروکربن‌های موجود در آب همراه چاه نفتی توسط حسن زاده و همکاران بررسی شده‌اند [۳۲].

### طیف فروسرخ نمونه آب همراه

ساختر آب همراه به وسیله طیف فروسرخ تعیین شد که در شکل ۱۱ نشان داده شده است. ارتعاش‌های کششی مشاهده شده در ناحیه ۳۴۳۵ بر سانتی‌متر را می‌توان به وجود گروه‌های هیدروکسیل مشتق‌های فنولی نسبت داد. پیک‌های جذبی مشاهده شده در ناحیه‌های ۱۲۸۹ و ۱۱۲۲ بر سانتی‌متر با پیوند O-C کششی فنول‌ها مطابقت دارد. ارتعاش‌های مربوط به ترکیب‌های هیدروکربنی مانند گروه‌های  $\text{CH}_2$  و  $\text{CH}_3$  آکلان‌ها در ناحیه‌های ۲۸۰۰ تا ۳۰۰۰ بر سانتی‌متر مشاهده شدند. پیک‌های مشاهده شده در ناحیه‌های ۱۴۶۴ و ۱۶۳۹ بر سانتی‌متر مربوط به ارتعاش‌های کششی گروه‌های C=C ترکیب‌های حلقوی آروماتیک است که با ارتعاش‌ها مربوط به گروه‌های کربونیل آمیدی و اسیدی در همان ناحیه‌ها تداخل دارد. پیک‌های جذبی مشاهده شده در ۷۰۰ تا ۱۱۰۰ بر سانتی‌متر به علت وجود C-H پیوندهای C-O، C-N است. باندهای مربوط به C-X آروماتیک خمی خارج از صفحه‌ای در ناحیه‌های ۷۲۱ و ۷۹۵ بر سانتی‌متر مشاهده شدند. همچنین باندهای موجود در ناحیه‌ها ۶۰۰ < بر سانتی‌متر متعلق به پیوندهای C-Cl می‌باشند [۲۶].

جدول ۴ - تاثیر pH روی تصفیه آب همراه با استفاده از مونتموریلونیت  
اصلاح شده

درصد حذف (%) COD	COD پس از تصفیه (mg/L)	pH	مقدار ظرفیت تبادل مونت-موریلونیت (%)	ردیف
۵۰/۰۹	۱۰۲۳	۳	۱۵۰	۱
۵۲	۹۸۴		۲۰۰	۲
۴۹/۲۱	۱۰۴۱	۵	۱۵۰	۳
۵۳/۹۰	۹۴۵		۲۰۰	۴
۸۱/۱۷	۳۸۶	۷	۱۵۰	۵
۹۲/۰۴	۱۶۳		۲۰۰	۶
۶۳/۷۵	۷۴۳	۹	۱۵۰	۷
۷۲/۵۳	۵۶۳		۲۰۰	۸



شکل ۱۲ - نمودار بررسی اثرهای pH روی تصفیه آب همراه با استفاده از مونتموریلونیت اصلاح شده

موریلونیت اصلاح شده در جدول ۳ نشان داده شده است. در شرایط بهینه مقدار ۰/۳ گرم از جاذب مونتموریلونیت اصلاح شده میزان حذف ۵۲/۶۸ COD درصد در شرایط pH اولیه آب همراه ۵/۱۲ به دست آمد.

اثرهای pH در آزمایش‌های تصفیه آب همراه با استفاده از مونتموریلونیت اصلاح شده تاثیر pH روی آزمایش‌های تصفیه آب همراه با استفاده از مونتموریلونیت اصلاح شده مونتموریلونیت اصلاح شده مورد بررسی قرار گرفت. به این منظور مقدار ۱۰۰ میلی‌لیتر از نمونه آب همراه در هر آزمون استفاده شد. آزمایش‌ها با مقدار بهینه ۰/۳ گرم از جاذب مونتموریلونیت اصلاح شده در مدت زمان ۴۵ دقیقه و در بازه pH ۳ تا ۷ انجام شدند.

نتیجه‌های مربوط به فرایند تصفیه با جاذب مونتموریلونیت اصلاح شده در شکل ۱۲ و جدول ۴ نشان داده شده‌است. در شرایط بهینه ظرفیت تبادل کاتیون جاذب مونتموریلونیت اصلاح شده ۲۰۰ درصد و در pH ۷، میزان حذف COD مقدار ۹۲/۰۴ درصد به دست آمد.

از آن جایی که آلانینهای نفتی دارای بار منفی هستند می‌توانند به وسیله ذره‌های دارای بار مثبت جذب شوند. سطح جاذب

جدول ۲ - کارایی جاذب مونتموریلونیت در حذف آلانینه آب همراه چاه نفت

ردیف	مقدار مونتموریلونیت (g)	مقدار COD پس از تصفیه (mg/L)	درصد حذف (%) COD
۱	۰/۱	۱۸۰۰	۱۱/۷۶
۲	۰/۲	۱۳۸۰	۳۲/۳۵
۳	۰/۳	۱۴۱۰	۳۰/۸۸
۴	۰/۴	۱۵۲۰	۲۵/۴۹
۵	۰/۵	۱۵۵۰	۲۴/۰۱

جدول ۳ - اثر دوز مونتموریلونیت اصلاح شده در حذف آلانینه آب همراه چاه نفت

ردیف	مقدار مونتموریلونیت (g)	مقدار COD پس از تصفیه (mg/L)	درصد حذف (%) COD
۱	۰/۱	۱۳۵۰	۳۴/۱۴
۲	۰/۲	۱۱۰۰	۴۶/۳۴
۳	۰/۳	۹۷۰	۵۲/۶۸
۴	۰/۴	۹۸۳	۵۲/۰۴
۵	۰/۵	۱۲۳۰	۴۰

۰/۱ به ۰/۲ گرم کارایی تخریب از ۱۱/۷۶ درصد به ۳۲/۳۵ درصد افزایش و در دوز کاتالیست ۰/۵ گرم به ۲۴/۰۱ درصد کاهش می‌باشد. افزایش سطح فعال کاتالیست عامل اصلی در افزایش میزان حذف است. مقدار کاتالیست بیشتر از ۰/۲ گرم منجر به کاهش کارایی تخریب می‌شود. با بالا رفتن مقدار کاتالیست ویژگی تجمع کاتالیست و پدیده کدورت افزایش می‌باشد که منجر به عدم نفوذ نور به سطوح در دسترس کاتالیست و در نتیجه کاهش راندمان تخریب می‌شود. بنابراین در غلظت‌های بالا مکانسیم تجمع کاتالیست مشاهده می‌شود [۳۷، ۳۶]. در شرایط بهینه با مقدار ۰/۲ از جاذب مونتموریلونیت میزان حذف COD ۳۲/۳۵ درصد به دست آمد.

اثرهای میزان جاذب در آزمایش‌های تصفیه آب همراه با استفاده از مونتموریلونیت اصلاح شده

در این مرحله نیز پارامتر COD به عنوان شاخص تعیین کننده میزان آلودگی پس از انتخاب شد و فرایند جذب با استفاده از دستگاه جارتست مورد بررسی قرار گرفت. مقدار ۱۰۰ میلی‌لیتر از نمونه آب همراه در هر آزمایش استفاده شد. مقدار جاذب مونتموریلونیت اصلاح شده ۰/۱، ۰/۲، ۰/۳، ۰/۴، ۰/۵ در دور ۱۸۰ دقیقه و متعاقب آن تهشیبی به مدت ۳۰ دقیقه بود و در انتهای نمونه‌ها با دور ۵۰۰۰ دقیقه سانتریفیوژ شدند. نتیجه‌های مربوط به فرایند جذب با جاذب مونت

جدول ۵ - نتیجه‌های آزمایش‌های براساس طراحی مرکب مرکزی شامل کاهش COD آزمایش‌های تصفیه آب همراه با استفاده از مونت‌موریلوفنیت اصلاح شده

ردیف	جاذب (g)	A : دوز	pH : B	C : زمان تماس (min)	COD پس از درصد حذف (%) COD	پاسخها	متغیرها	
							تصفیه (mg/L)	COD (mg/L)
۱	۰/۲۰	۵	۳۰	۱۲۵۲	۳۸/۹۲			
۲	۰/۴۰	۵	۳۰	۱۱۹۳	۴۱/۸۰			
۳	۰/۲۰	۹	۳۰	۸۹۸	۵۶/۱۹			
۴	۰/۴۰	۹	۳۰	۸۷۵	۵۷/۳۱			
۵	۰/۲۰	۵	۶۰	۷۹۳	۶۱/۳۱			
۶	۰/۴۰	۵	۶۰	۵۴۵	۷۳/۴۰			
۷	۰/۲۰	۹	۶۰	۷۳/۴۱	۵۸/۲۰			
۸	۰/۴۰	۹	۶۰	۶۷۲	۶۷/۲۱			
۹	۰/۱۳	۷	۴۵	۱۱۹۹	۴۱/۵۱			
۱۰	۰/۴۷	۷	۴۵	۹۹۲	۵۱/۶۰			
۱۱	۰/۳۰	۴۵	۳/۶۴	۱۰۲۵	۵۰			
۱۲	۰/۳۰	۴۵	۱۰/۳۶	۷۸۰	۶۱/۹۵			
۱۳	۰/۳۰	۷	۱۹/۷۷	۷۹۵	۶۱/۲۱			
۱۴	۰/۳۰	۷	۷۰/۲۳	۱۹۵	۹۰/۴۸			
۱۵	۰/۳۰	۷	۴۵	۱۶۶	۹۱/۹۰			
۱۶	۰/۳۰	۷	۴۵	۱۸۰	۹۱/۲۱			
۱۷	۰/۳۰	۷	۴۵	۱۷۶	۹۱/۴۱			
۱۸	۰/۳۰	۷	۴۵	۱۶۸	۹۱/۸۰			
۱۹	۰/۳۰	۷	۴۵	۱۶۴	۹۲			
۲۰	۰/۳۰	۷	۴۵	۱۶۳	۹۲/۰۴			

در شرایط بهینه دوز جاذب  $0/3$  گرم، pH ۷ و زمان تماس ۴۵ دقیقه درصد بهدست آمد.

**بررسی اثرهای پارامترها روی کاهش COD در آزمایش‌های تصفیه آب همراه با استفاده از مونت‌موریلوفنیت اصلاح شده**  
اثرهای پارامترها روی کاهش COD با استفاده از مونت‌موریلوفنیت اصلاح شده  
اثرهاي دوز جاذب، pH و برهمنكش آنها روی کاهش COD با استفاده از مدل سطح پاسخ سه بعدی در زمان تماس ۴۵ دقیقه (به عنوان نقطه مرکزی طراحی) بررسی شد (شکل a-۱۳). بیشینه کاهش COD مقدار  $92/0/4$  درصد در pH ۷ با دوز جاذب  $0/3$  گرم بهدست آمد. به منظور کاهش هزینه اقتصادی و بهدست آوردن کارایی بالاتر از فرایند تصفیه، تعیین دوز بهینه ضروری است [۳۸].

مونت‌موریلوفنیت اصلاح شده دارای بار مشتب است بنابراین ذره‌های دارای بار منفی نفت از طریق نیروی الکترواستاتیک به سطح جاذب متصل می‌شود. کاهش pH منجر به افزایش پروتون در دسترس و افزایش بار مشتب در سطح جاذب و در نتیجه افزایش جذب می‌شود. در محیط بازی، بدليل افزایش دانسیته بار منفی در سطح جاذب، دافعه الکترواستاتیک با ذره‌های آلانینه افزایش یافته و در نتیجه راندمان واکنش حذف کاهش می‌یابد [۲۶].

**بررسی کاهش COD با استفاده از روش طراحی آزمایش‌ها و بهینه سازی بهروش سطح پاسخ**

نتیجه‌های درصد کاهش COD با استفاده از طراحی مرکب مرکزی<sup>۱</sup> (CCD) در جدول ۵ نشان داده شده است. تناسب داده‌ها با معادله‌های خطی، دو فاکتوری، چند جمله‌ای، و مکعبی با استفاده از آنالیز واریانس بررسی شد. نتیجه‌ها نشان داد که معادله چند جمله‌ای درجه دوم برای کاهش COD مناسب است. معادله کدگذاری شده برای تشخیص تأثیر نسبی عامل‌ها با مقایسه ضریب‌های هر عامل مورد استفاده قرار می‌گیرد. معادله (۱) مربوط به کاهش COD در زیر نشان داده شده است:

$$\text{COD reduction} = 91.75 + 3.08A + 3.19B - 0.6AB + 2.14AC - 5.26BC - 16.12A^2 - 12.79B^2 - 5.76 C^2 \quad (1)$$

که در این مدل A مقدار دوز جاذب بر حسب گرم، B مقدار pH و C زمان تماس دقیقه است. آنالیز واریانس (ANOVA) برای این مدل در جدول ۶ نشان داده شده است. مقدار پارامتر F برای این مدل  $180.5/58$  و مقدار P کمتر از  $0/0001$  است، که نشان دهنده معنی دار بودن مدل می‌باشد. همچنین کم بودن ( $<0/05$ ) مقدار P با سطح اطمینان قابل توجه  $95$  درصد و ضریب تعیین بالا ( $R^2 = 0/9994$ ) نشان دهنده مناسب بودن مدل برای بیان رابطه واقعی بین پارامترها است. نسبت سیگنال به نویز  $112/722$  بود که با مقدار بزرگتر از  $4$  مطابقت داشت. نتیجه‌ها نشان داد که این مدل برای ارتباط بین پارامترها مناسب است. A دوز جاذب بر حسب گرم، B pH B و C زمان تماس بر حسب دقیقه پارامترهای تأثیر گذار بودند. در این مدل عبارت‌های B, AC, BC, A<sup>2</sup>, B<sup>2</sup>, C<sup>2</sup> قابل توجه بودند.

همان‌گونه که از جدول ۵ بر می‌آید بیشینه حذف COD با استفاده از مونت‌موریلوفنیت اصلاح شده با ظرفیت تبدال  $200$  درصد

(۱) Central Composite Designs

جدول ۷ - تصفیه آب همراه با استفاده از مونتموریلونیت اصلاح شده

درصد حذف (%)	واحد	تصفیه	پس از تصفیه	پارامتر	تعداد آزمایش‌ها	نوع تصفیه
۹۲/۰۴	mg/L	۱۶۳	۲۰.۵۰	COD	۱	تصفیه با استفاده از مونت-
۹۱/۸۷	mg/L	۸۴	۱۰.۳۴	BOD	۲	موریلونیت
۱۰۰	mg/L	-	۲۰.۱۸	TSS	۳	اصلاح شده
۹۲/۳۹	mg/L	۶	۹۰/۸	نفت و چربی	۴	
۹۹/۹	Ntu	۰/۰۳	۴۳۵	کدروت	۵	

۳۰ دقیقه میزان درصد حذف COD ۵۷/۴۶ درصد به دست آمد. با افزایش زمان تماس ۵۹ دقیقه و در pH ۵ میزان حذف COD به ۸۴/۰۸ درصد رسید. همچنین با افزایش pH به ۸/۹۶ و در زمان تماس ۵۹ دقیقه، میزان حذف COD ۸۰/۲۲ درصد نتیجه شد.

#### شرایط بهینه

RSM می‌تواند به منظور ارزیابی ترکیب بهینه فاکتورها برای تعیین بالاترین درصد کاهش COD استفاده شود. بیشینه کاهش COD مقدار ۹۴/۰۵ درصد برای کاهش COD با انحراف ۰/۳۳ درصد به دست آمد. مقدارهای داده‌های تجربی در شرایط بهینه دوز جاذب ۰/۳ گرم، ۷ pH و زمان تماس ۴۵ دقیقه، بیشینه حذف COD با استفاده از مونتموریلونیت اصلاح شده با ظرفیت تبادل ۲۰۰ درصد مقدار حذف ۹۲/۰۴ درصد به دست آمدند. مقایسه میان مقدارهای واقعی و پیش‌بینی شده پاسخ‌ها در شکل ۱۴ نشان داده شده است. نتیجه‌های به دست آمده با مقدارهای پیش‌بینی شده تطابق مناسبی داشتند. در شرایط بهینه دوز جاذب ۰/۳ گرم، ۷ pH و زمان تماس ۴۵ دقیقه، بیشینه حذف COD با استفاده از مونتموریلونیت اصلاح شده با ظرفیت تبادل ۲۰۰ درصد مقدار حذف ۹۲/۰۴ درصد به دست آمدند. مقایسه میان مقدارهای واقعی و سایر پارامترها نیز در شرایط بهینه بررسی شدند که در جدول ۷ نشان داده شده است.

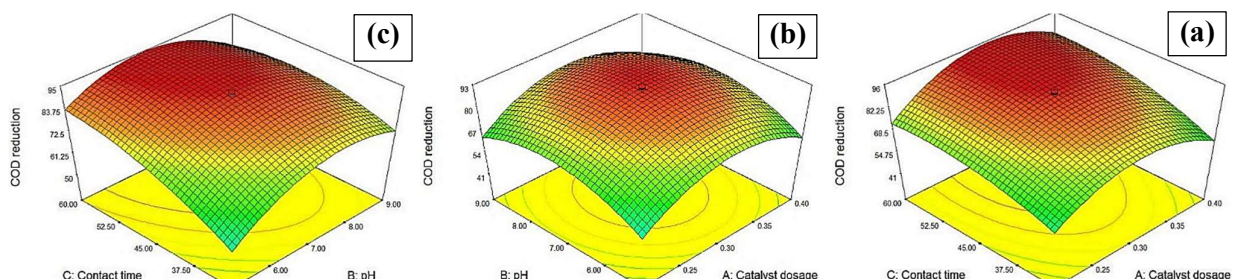
#### بررسی قابلیت بازیابی موفت‌موریلونیت اصلاح شده

به منظور بازیابی مونتموریلونیت اصلاح شده با HDTMA-Br، ابتدا مقدار ۱۰۰ میلی‌لیتر از نمونه آب همراه در هر تکرار آزمایش استفاده شد. مقدار جاذب مونتموریلونیت، میزان بهینه ۰/۳ گرم انتخاب شد. مدت زمان جارتیست یک ساعت با دور ۱۸۰ دور بر دقیقه و متعاقب آن تهشیینی به مدت ۳۰ دقیقه بود و در انتهای نمونه‌ها فیلتر و جداسازی شدند. مقدار جاذب جداسازی شده به ۲۵ میلی‌لیتر آب مقطر اضافه شد. pH محلول در ۱۳ تنظیم شد و سپس محلول به

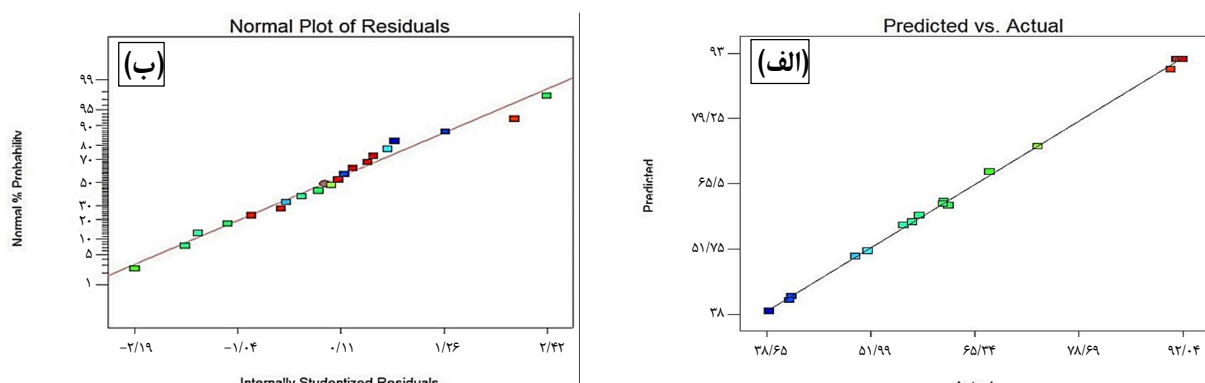
جدول ۶ - آنالیز ANOVA برای مدل چند جمله‌ای درجه دوم برای کاهش آزمایش‌های تصفیه آب همراه با استفاده از مونت‌موریلونیت اصلاح شده

نوع مدل	جمع مربعات	درجه آزادی	میانگین مربعات	F مقدار	P مقدار
مدل برای کاهش COD	۷۲۱۲/۹۲	۹	۸۰۱/۴۴	۱۸۰۵/۵۸	< ۰/۰۰۱
(g): دوز جاذب A: pH: مقدار B: زمان تماس	۱۲۹/۵۹	۱	۱۲۹/۵۹	۴۹۱/۹۶	< ۰/۰۰۱
AB	۱۳۹/۰۵	۱	۱۳۹/۰۵	۳۱۳/۲۷	< ۰/۰۰۱
AC	۹۷۰/۵۰	۱	۹۷۰/۵۰	۲۱۸۶/۴۷	< ۰/۰۰۱
BC	۲/۹۳	۱	۲/۹۳	۶/۶۰	۰/۰۲۸
A <sup>2</sup>	۳۶/۵۵	۱	۳۶/۵۵	۸۲/۳۵	< ۰/۰۰۱
B <sup>2</sup>	۲۲۱/۳۴	۱	۲۲۱/۳۴	۴۹۸/۶۷	< ۰/۰۰۱
C <sup>2</sup>	۳۷۴۴/۸۸	۱	۳۷۴۴/۸۸	۸۴۳۶/۹۵	< ۰/۰۰۱
باقي مانده	۳۷۵۷/۳۲	۱	۳۷۵۷/۳۲	۵۳۱۰/۸۷	< ۰/۰۰۱
عدم تطابق	۴/۴۴	۱۰	۰/۴۴		
خطای محض	۳/۸۶	۵	۰/۷۷	۶/۷۱	۰/۰۲۸۴
مجموع تصحیحات	۷۲۱۷/۳۵	۱۹			

کاهش COD در دوز جاذب ۰/۰۵ pH، ۵/۲۲ گرم و در pH ۶۰/۹۵ درصد به دست آمد. با افزایش دوز کاتالیست به ۰/۳ گرم در pH ۷/۴ درصد کاهش COD به ۹۲/۰۴ درصد افزایش یافت. سپس در دوز جاذب ۰/۴ گرم و ۸/۹۲ pH، درصد تخریب به ۶۹/۹۵ درصد کاهش یافت. سرعت کاهش COD با افزایش سطح فعال کلی افزایش یافت اما در غلظت جاذب بالاتر از مقدار بهینه ۰/۳ گرم کارایی تخریب، کاهش نشان داد [۳۹]. تجمع جاذب در غلظت‌های بالای مونتموریلونیت اصلاح شده ایجاد می‌شود [۳۹]. با افزایش pH نیز میزان درصد حذف COD کاهش یافت. زیرا در محیط بازی، دانسیته بار منفی در سطح جاذب افزایش یافته و در نتیجه موجب ایجاد دافعه الکترواستاتیکی با ذره‌های آلاینده شده و در نتیجه بازده واکنش حذف کاهش می‌یابد [۲۶]. برهمکنش میان دوز جاذب و زمان تماس روی کاهش COD در شکل ۱۳ نشان داده شده است. درصد کاهش COD ۶۱/۵۱ درصد با دوز جاذب ۰/۲ گرم در مدت زمان ۳۰ دقیقه به دست آمد. کاهش COD ۹۲/۰۴ درصد با دوز جاذب ۰/۰ گرم در مدت زمان ۴۵ دقیقه نتیجه شد. سپس با دوز جاذب ۰/۴ گرم در مدت زمان ۵۹ دقیقه درصد کاهش COD به ۸۴/۲۳ درصد کاهش نشان داد. برهمکنش میان pH و زمان تماس نیز در شکل ۱۳ نشان داده شده است. در pH ۵ و زمان تماس



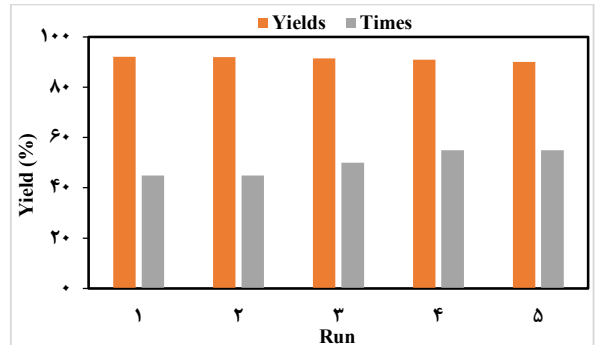
شکل ۱۳- دیاگرام سطح پاسخ نشان‌دهنده برهمکنش میان پارامترهای دوز جاذب و pH در کاهش COD (a)، دوز جاذب و زمان تماس در کاهش COD (b) و pH (b) و زمان تماس در کاهش COD (c)



شکل ۱۴- (الف) ارتباط میان درصد واقعی حذف COD و مقدارهای پیش‌بینی شده به وسیله مدل طراحی شده، (ب) ترسیم توزیعی داده‌های آزمایش در مقابل مقدارهای پیش‌بینی شده در کاهش COD

#### بررسی ستیک کاهش اکسیژن مورد نیاز شیمیابی با استفاده از مونتموریلوئیت اصلاح شده

فرایندهای حذف یا کاهش اکسیژن مورد نیاز شیمیابی را می‌توان توسط مدل‌های ستیکی توصیف کرد که به عنوان مدل‌های واپاشی شناخته شده‌اند. طی فرایند جذب سطحی، حذف مواد جذب شونده از محلول و همزمان افزایش غلظت آن در سطح جاذب صورت می‌گیرد. با گذشت زمان غلظتی از جذب شونده که در محلول باقی می‌ماند با غلظتی از آن که در سطح جاذب جذب می‌شود به یک تعادل ترمودینامیکی می‌رسد. به زمان مورد نیاز برای انجام این مرحله، زمان تعادل می‌گویند. مطالعه‌های ستیکی مسیرهای انجام واکنش، نوع و مکانیسم واکنش‌های جذبی را مشخص می‌کند. همچنین سرعت جذب حل شونده توسط جاذب در سطح مشترک جامد-مایع نیز از روش این مطالعه‌ها توصیف می‌شود [۴۱]. در این مطالعه ۴ مدل ستیکی برای آنالیز داده‌های ستیکی کاهش COD با استفاده از مونتموریلوئیت اصلاح شده مورد استفاده قرار گرفت. مدل ستیکی شبیه مرتبه اول، شبیه مرتبه دوم،



شکل ۱۴- کارایی جاذب مونتموریلوئیت اصلاح شده در ۵ واکنش متوالی

مدت ۱۲۰ دقیقه در دمای اتاق همراه شد. سپس ذره‌های احیا شده در محلول آبی با دستگاه سانتریفیوژ با دور ۱۵۰۰ rpm جداسازی شدند [۴۰]. در ادامه جاذب بازیابی شده به منظور واکنش‌های متوالی استفاده شد. نتیجه‌های بررسی‌ها نشان داد که جاذب اصلاح شده می‌تواند بدون کاهش کارایی حذف و با بهره بالا برای پنج واکنش متوالی استفاده شود.

درون ذرهای بیان می‌کند که پیشرفت فرایند جذب از دو مرحله اصلی نشات می‌گیرد که شامل انتقال ذرهای جذب شونده از محلول آبی به سطح ذرهای جاذب و نفوذ مولکولهای جذب شونده به درون خل و فرج جاذب است. مدل سهمی گون-نفوذ برای کنترل پدیده نفوذ در جاذب استفاده شد که با معادله زیر نشان داده می‌شود:

$$\left(\frac{1 - \frac{M_t}{M_0}}{t}\right)^{\frac{1}{2}} = kt^{-\frac{1}{2}} + a \quad (4)$$

در معادله (۴)،  $k$  ثابت سرعت،  $M_0$  و  $M_t$  غلظت آلاینده روی میلی‌گرم بر لیتر در زمان صفر و در زمان  $t$  و  $a$  هم یک مقدار ثابت بر حسب میلی‌گرم بر گرم است که اطلاعاتی از ضخامت لایه مرزی در اطراف جاذب در اختیار قرار می‌دهد و هر چه مقدار آن بزرگ‌تر باشد تاثیر لایه مرزی بیشتر است. در صورتی که نمودار  $\left(\frac{1 - \frac{M_t}{M_0}}{t}\right)^{\frac{1}{2}}$  خطی باشد که از مبدا مختصات عبور می‌کند فرایند جذب از مدل نفوذ درون ذرهای است اما اگر از مبدا عبور نکند نشان می‌دهد که نفوذ درون ذرهای به تنها یک مکانیسم غالب نیست و ممکن است که سایر مکانیسم‌های ستیکی نیز به طور همزمان جذب را کنترل کنند [۴۵].

مدل فروندلیش اصلاح شده نیز به منظور تعیین تبادل یون یا جذب روی جاذب به کار گرفته می‌شود که یک سامانه جذب و واجذب کنترل شده را نشان می‌دهد. مدل هم‌دما فروندلیش جذب حل شونده از سیال (مایع یا گاز) را به سطح جامد قوی اشغال شده‌اند براساس فرضیات این مدل، مراکز جذبی به طور قوی اشغال شده‌اند و قدرت اتصال مراکز جذبی با افزایش میزان پوشش مراکز جذبی کاهش می‌یابد. معادله فروندلیش معادله‌ای تجربی است و بر این فرض استوار است که جاذب سطح ناهمگن دارد و متشکل از طبقات گوناگونی از مراکز جذبی است. فرم کلی معادله فروندلیش اصلاح شده به صورت زیر بیان می‌شود [۴۶]:

$$\frac{M_0 - M_t}{M_0} = kt^b \quad (5)$$

در این معادله  $k$  ثابت سرعت،  $M_0$  و  $M_t$  غلظت آلاینده بر حسب میلی‌گرم بر لیتر در زمان صفر و در زمان  $t$  و  $b$  هم یک مقدار ثابت است. در این پژوهش مدل‌های کاهش اکسیژن مورد نیاز شیمیایی از روش داده‌های ستیک تجربی بدست آمد. مدل‌های ستیکی شبه مرتبه اول، شبه مرتبه دوم، سهمی گون-نفوذ و مدل فروندلیش اصلاح شده به کار گرفته شدند که در شکل ۱۵ نشان داده شده است. نتیجه‌ها نشان داد که روند کاهش COD با استفاده از مدل سهمی

سهمی گون-نفوذ<sup>(۱)</sup> و مدل فروندلیش اصلاح شده<sup>(۲)</sup> بررسی شد. آزمایش‌های ستیکی تخریب با دوز جاذب  $0.3\text{ g}$  pH ۷ و زمان ۴۵ دقیقه انجام شد.

مدل ستیکی شبه درجه اول برای جذب سطحی آلاینده‌ها روی سطح جاذب استفاده می‌شود. در این مدل نفوذ مهمنم ترین مرحله کنترل کننده سرعت می‌باشد. این مدل مقاومت اصلی در فرایند جذب را مربوط به مرحله اتصال جزء جذب شونده به مراکز جذب می‌داند. در این مدل فرض بر این است که شدت پرشدن مراکز و جایگاه‌های جذب به صورت خطی متناسب با تعداد مراکز و جایگاه‌های خالی جذب می‌باشد. مدل شبه مرتبه اول که مدل لاگرگرن<sup>(۳)</sup> نیز نامیده می‌شود، برای توصیف جذب سطحی ذرهای جذب شونده از محیط آبی کاربرد دارد. مدل ستیکی شبه مرتبه اول با معادله زیر داده شده است [۴۲]:

$$\ln(q_e - q_t) = \ln q_{e1} - k_1 t \quad (2)$$

در معادله (۲)،  $k_1$  ثابت سرعت بر حسب بر دقيقه،  $q_e$  و  $q_t$  مقدار آلاینده جذب شده در لحظه تعادل و در زمان  $t$  بر حسب میلی‌گرم بر گرم هستند.  $q_{e1}$  ظرفیت جذب به دست آمده براساس مدل شبه مرتبه اول است. از روش رسم نمودار  $q_t$  در برابر  $t$  می‌توان به ترتیب  $k_1$  و  $q_{e1}$  را از روی شبیه عرض از مبدا رسم شده به دست آورد [۴۳]. برای مطالعه ستیک جذب سطحی در معادله سرعت مرتبه دوم، فرایند جذب مربوط به مرحله اتصال جزء جذب شونده به مراکز جذب می‌باشد با این فرض که شدت پرشدن مراکز و جایگاه‌های خالی جذب متناسب با مریع تعداد مراکز و جایگاه‌های خالی جذب است. این مدل مرحله‌های جذب مانند فیلم خارجی، جذب سطحی و نفوذ بین ذرهای جذب کننده سرعت است و ثابت معادله مستقل از قطر ذرهای و سرعت جریان خواهد بود و به دما و غلظت یون‌های موجود در محلول مستگی دارد. معادله شبه مرتبه دوم در زیر نشان داده شده است [۴۴]:

$$\frac{t}{q_t} = \frac{1}{k^2 q_e^2} + \left(\frac{1}{q_{e1}}\right)t \quad (3)$$

در معادله (۳)،  $k_2$  ثابت سرعت بر حسب میلی‌گرم بر گرم بر دقيقه و  $q_{e2}$  ظرفیت جذب به دست آمده بر حسب میلی‌گرم بر گرم بر طبق مدل شبه مرتبه دوم است. با رسم نمودار  $t/q_t$  در برابر  $t$  از روی عرض از مبدا می‌توان مقدار  $k_2$  و از روی شبیه آن به مقدار دست یافت [۴۴]. مدل سهمی گون-نفوذ به بررسی مکانیسم نفوذ جذب شونده در جاذب و تعیین مرحله کنترل کننده سرعت می‌پردازد. مدل نفوذ

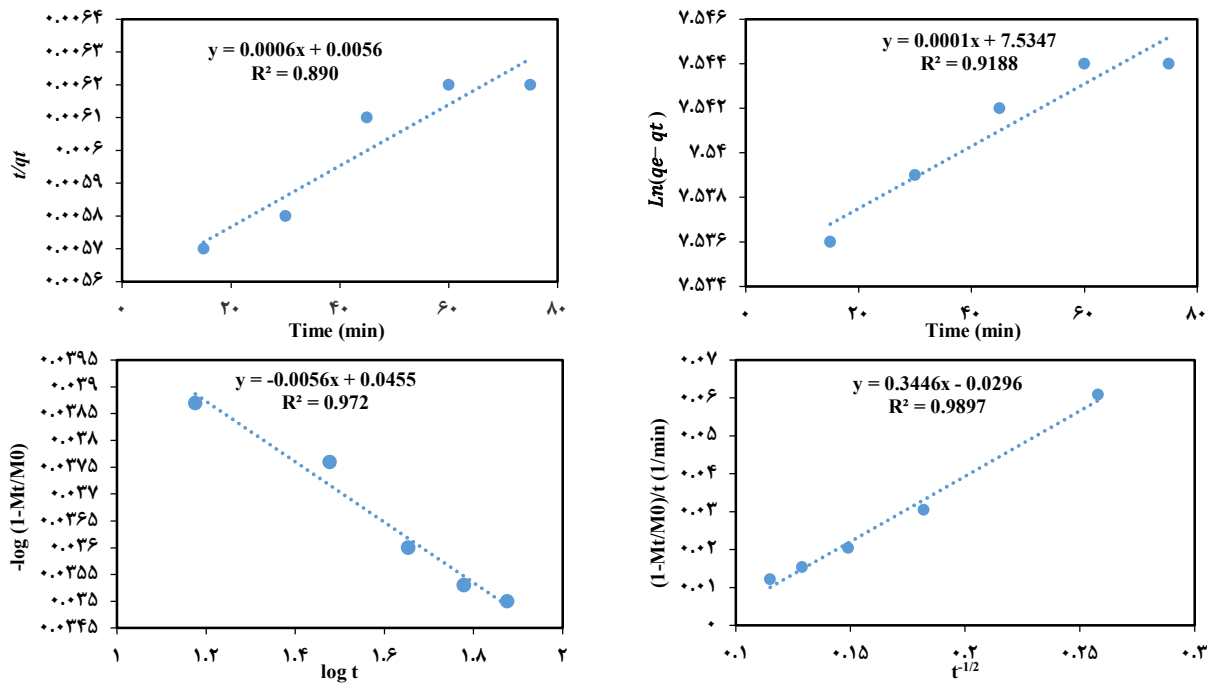
(۱) Parabolic diffusion

(۲) Lagergern

(۳) Modified Freundlich

جدول ۸ - پارامترهای سنتیکی در کاهش COD با استفاده از (دوز جاذبها  $g/300$ ،  $pH = 7$  و زمان ت manus ۴۵ دقیقه)

		فرندلیش اصلاح شده		شیه مرتبه اول		شیه مرتبه دوم		سهمی گون-نفوذ		خریب آلایندها	
R <sup>2</sup>	k	R <sup>2</sup>	k	R <sup>2</sup>	K <sup>2</sup>	R <sup>2</sup>	k <sup>1</sup>	R <sup>2</sup>	k	R <sup>2</sup>	k
۰/۹۷۲	۰/۰۰۵۶	۰/۹۸۹۷	۰/۳۴۴۶	۰/۸۹۰۹	۰/۰۰۰۶	۰/۹۱۸۸	۰/۰۰۰۱	۰/۹۸۹۷	۰/۰۰۵۶	۰/۹۷۲	۰/۰۰۰۱



شکل ۱۵ - مدل‌های سنتیکی کاهش COD (a) شیه مرتبه اول (b) شیه مرتبه دوم (c) سهمی گون-نفوذ (d) فرنولیش اصلاح شده با استفاده از مونتموریلونیت اصلاح شده

روش‌های FESEM، XRD، BET، TGA، FT-IR، PSD و TEM روش‌های نماییم. کارایی جاذب اصلاح شده به منظور حذف آلاینده‌های آب همراه چاه نفتی شامل کاهش اکسیژن مورد نیاز شیمیایی (COD)، اکسیژن مورد نیاز زیستی (BOD)، مواد جامد معلق (TSS)، نفت و چربی و کدورت مورد بررسی قرار گرفت. بیشینه حذف COD با استفاده از مونتموریلونیت اصلاح شده با طوفیت تبدال ۲۰۰ درصد در شرایط بیهده دوز جاذب  $g/300$ ، pH ۷ و زمان ت manus ۴۵ دقیقه  $92/04$  درصد به دست آمد. درصد کاهش COD، TSS، BOD، NFT و چربی و کدورت نیز بهتر تیب  $91/87$  درصد،  $100$  درصد،  $40$  درصد و  $99/9$  درصد به دست آمد. مدل سنتیک سهمی گون-نفوذ با  $R^2 = 0/9897$  معادل  $0/9897$  برای سنتیک کاهش COD با استفاده از مونتموریلونیت اصلاح شده به دست آمد.

گون-نفوذ با دقت بیشتری گون-نفوذ با دقت بیشتری می‌تواند توصیف شود.  $R^2$  محاسبه شده برای این مدل‌ها نزدیک به واحد است. مدل سهمی گون-نفوذ با  $R^2 = 0/9897$  معادل  $0/9897$  برای کاهش COD با استفاده از مونتموریلونیت اصلاح شده به دست آمد. این نتیجه‌ها نشان داد که تخریب سریع آلاینده‌ها در مدت زمان کوتاه متناسب با برهمکنش کاتیونی قوی میان آلاینده‌های آب همراه چاه نفت و سطح باردار جاذب اصلاح شده می‌باشد. مدل سهمی گون-نفوذ نشان می‌دهد که مرحله محدود کننده سرعت (انتقال الکترون) به وسیله نفوذ مولکول‌های آلاینده از محلول به مراکز فعال روی سطح جاذب‌ها کنترل می‌شود.

### قدرتمندی

نویسنده‌گان مقاله از حمایت‌های مالی پژوهشکده حوضه آبی

### نتیجه‌گیری

در این پژوهه ما توانستیم مونتموریلونیت اصلاح شده با سورفکتانت HDTMA-Br را تهیه نماییم و ساختار آن را با انواع

دریای خزر دانشگاه گیلان در انجام طرح پژوهشی به شماره قرارداد:

تاریخ دریافت: ۰۱/۰۱/۱۴۰۰؛ تاریخ پذیرش: ۲۹/۰۶/۱۴۰۰

درباره ۲۵۵۶۸۶۰ صمیمانه تشرک می نمایند.

## مراجع

- [۱] حقیقی فرد جعفرزاده ن.ا، فرهنگ م.، آلدگی دریا، انتشارات آوای قلم، ۱۳۸۵.
- [۲] دانشفر م.ا، ارجمند م، پهلوان زاده ح، قدمی ا، قدم ح، بررسی و انتخاب سیستم مناسب تصفیه آب تولیدی همراه نفت برای استفاده در سکوهای نفتی، ماهنامه علمی- ترویجی اکتشاف و تولید نفت و گاز، ۱۱۴: ۵۲ تا ۶۱ (۱۳۹۳).
- [۳] Padervand M., Ghasemi S., Hajiahmadi S., Wang C., *K<sub>4</sub>Nb<sub>6</sub>O<sub>17</sub>/Fe<sub>3</sub>N/α-Fe<sub>2</sub>O<sub>3</sub>/C<sub>3</sub>N<sub>4</sub>* as an Enhanced Visible Light-Driven Quaternary Photocatalyst for Acetamiprid Photodegradation, CO<sub>2</sub> Reduction, and Cancer Cells Treatment, *Appl. Surf. Sci.*, **544**: 148939 (2021).
- [۴] Padervand M., Gholami M.R., Removal of Toxic Heavy Metal Ions from Waste Water by Functionalized Magnetic Core-Zeolic Shell Nanocomposites as Adsorbents, *Environ Sci Pollut Res.*, **20**: 3900–3909 (2013).
- [۵] Padervand M., Salari H., Ahmadvand S.S., Gholam M.R., Removal of an Organic Pollutant from Waste Water by Photocatalytic Behavior of AgX/TiO<sub>2</sub> Loaded on Mordenite Nanocrystals, *Res. Chem. Intermed.*, **38**: 1975–1985 (2012).
- [۶] Padervand M., Rhimi B., Wang C., One-Pot Synthesis of Novel Ternary Fe<sub>3</sub>N/Fe<sub>2</sub>O<sub>3</sub>/C<sub>3</sub>N<sub>4</sub> Photocatalyst for Efficient Removal of Rhodamine B and CO<sub>2</sub> Reduction, *J. Alloys Compd.*, **852**: 156955 (2021).
- [۷] Padervand M., Lichtfouse E., Didier Robert Wan C., Removal of Microplastics from the Environment. A Review, *Environ. Chem. Lett.*, **18**: 807–828 (2020).
- [۸] Padervand M., Tasviri M., Gholam M.R., Effective Photocatalytic Degradation of an Azo Dye over Nanosized Ag/AgBr-Modified TiO<sub>2</sub> Loaded on Zeolite, *Chem. pap.*, **65**: 280–288 (2011).
- [۹] Padervand M., Heidarpour H., Goshadehzehn M., Hajiahmadi S., Photocatalytic Degradation of 3-Methyl-4-Nitrophenol over Ag/AgCl-Decorated/[MOYI]-Coated/ZnO Nanostructures: Material Characterization, Photocatalytic Performance, and in-Vivo Toxicity Assessment of the Photoproducts, *Environ. Technol. Innov.*, **21**: 101212 (2021).
- [۱۰] پادروند م، جلیلیان ا، فوتوكاتالیست دوتایی صفحه‌ای شکل AgBr-Bi<sub>24</sub>Br<sub>10</sub>O<sub>31</sub> با فعالیت بالا تحت نور مرئی، شیمی و مهندسی شیمی ایران، ۳۸: ۷۷–۸۳ (۱۳۹۸).
- [۱۱] پادروند م، الهی فرد م.ر، ساختارهای اصلاح شده هسته (مغناطیسی) - لایه (زتوپلیتی) با قابلیت حذف یون‌های فلزهای سنگین از پساب‌ها، شیمی و مهندسی شیمی ایران، ۳۷(۱): ۱۲۵–۱۳۱ (۱۳۹۷).
- [۱۲] Fakhru'l-Razi A., Pendashteh A., Chuah Abdullah L., Radiah Awang Biak D., Siavash Madaeni S., Zainal Abidin Z., Review of Technologies for Oil and Gas Produced Water Treatment, *J. Hazard. Mater.*, **170**: 530-551 (2009).

- [13] McBride M.B., Pinnava I.J., Mortland M.M., “*Advances in Environmental Science and Technology*”, John Wiley, New York, USA, (1977).
- [14] Boyd S.A., Lee J.F., Mortland M., *Attenuating Organic Contaminant Mobility by Soil Modification*, *Nature*, **333**: 345-347 (1988).
- [15] Evans J.C., Pancoski S.E., *Organoclay Modified Clays*, *Transp. Res. Rec.*, **1219**: 160-168 (1989).
- [16] Moazed H., Viraraghavan T., Asce F., *Removal of Oil from Water by Bentonite Organoclay*, *Practice periodical of hazardous, toxic, and radioactive waste management*, **9**: 130-134 (2005).
- [17] Carvalho M.N., Da Motta M., Benachour M., Sales D.C.S., Abreu C.A.M., *Evaluation of BTEX and Phenol Removal from Aqueous Solution by Multi-Solute Adsorption Onto Smectite Organoclay*, *J. Hazard. Mater.*, **239(240)**: 95-101 (2012).
- [18] Zheng S., Sun Z., Park Y., Ayoko G.A., Frost, R.L., *Removal of Bisphenol A from Wastewater by Ca-Montmorillonite Modified with Selected Surfactants*, *Chem. Eng. Sci.*, **234**: 416-422 (2013).
- [19] Park Y., Sun Z., Ayoko G.A., Frost R.L., *Bisphenol A Sorption by Organomontmorillonite: Implications for the Removal of Organic Contaminants from Water*, *Chemosphere*, **107**: 249-256 (2014).
- [20] Mota M.F., Rodrigues M.G.F., Machado F., *Oil-Water Separation Process with Organoclays: A Comparative Analysis*, *Appl. Clay Sci.*, **99**: 237-245 (2014).
- [21] El-Zahhar A.A., Al-Hazmi G.A., *Organically Modified Clay for Adsorption of Petroleum Hydrocarbons*, *Eur. Chem. Bull.*, **4(2)**: 87-91 (2015).
- [22] Rathnayake S.I., Xi Y., Frost R.L., Ayoko G.A., *Environmental Applications of Inorganic-organic Clays for Recalcitrant Organic Pollutants Removal: Bisphenol A*, *J. Colloid Interface Sci.*, **470**: 183-195 (2016).
- [23] Nourmoradia H., Nikaeena M., Khiadani (Hajian) M., *Removal of Benzene, Toluene, Ethylbenzene and Xylene (BTEX) from Aqueous Solutions by Montmorillonite Modified with Nonionic Surfactant: Equilibrium, Kinetic and Thermodynamic Study*, *Chem. Eng. Sci.*, **191**: 341-348 (2012).
- [24] Baskaralingam P., Pulikesi M., Elango D., Ramamurthi V., Sivanesan S., *Adsorption of Acid Dye onto Organobentonite*, *J. Hazard. Mater.*, **128**: 138-144 (2006).
- [25] Chang K.C., Lai M.C., Peng C.W., Chen Y.T., Yeh J.M., Lin C.L., Yang J.C., *Comparative Studies on the Corrosion Protection Effect of DBSA-Doped Polyaniline Prepared from in Situ Emulsion Polymerization in the Presence of Hydrophilic Na<sup>+</sup>-MMT and Organophilic Organomodified Clay Platelets*, *Electrochim. Acta*, **51**: 5645-5653 (2006).
- [26] Eren E., Afsin B., Onal Y., *Removal of Lead Ions by Acid Activated and Manganese Oxide-Coated Bentonite*, *J. Hazard. Mater.*, **161**: 677-85 (2009).
- [27] Park Y., Ayoko G.A., Kurdi R., Horvath E., Kristof J., Frost R.L., *Adsorption of Phenolic Compounds by Organoclays: Implications for the Removal of Organic Pollutants from Aqueous Media*, *J. Colloid Interface Sci.*, **406**: 196-208 (2013).

- [28] Cheng P., Qiu J., Gu M., Shangguan W., [Synthesis of Shape-Controlled Titania Particles from a Precursor Solution Containing Urea](#), *Mater. Lett.*, **58**: 3751-3755 (2004).
- [29] Tan X., Liu F., Hu L., Reed A.H., Furukawa Y., Zhang G., [Evaluation of the Particle Sizes of Four Clay Minerals](#), *Appl. Clay Sci.*, **135**: 313-324 (2017).
- [30] Alshabanat M., Al-Arrash A., Mekhamer W., [Polystyrene/Montmorillonite Nanocomposites: Study of the Morphology and Effects of Sonication Time on Thermal Stability](#), *J. Nanomater.*, **2013**: 650725 (2013).
- [31] Cervantes-Uc J.M., Cauich-Rodriguez J.V., Vazquez-Torres H., Garas-Mesias L.F., Paul D.R., [Termal Degradation of Commercially Available Organoclays Studied by TGA-FT-IR](#), *Thermochim. Acta.*, **457**: 92-102 (2007).
- [32] Hasanzadeh R., Abbasi Sourakia B., Pendashteh A., Khayati G., Fakhru'l-Razi A., [Application of Isolated Halophilic Microorganisms Suspended and Immobilized on Walnut Shell as Biocarrier for Treatment of Oilfield Produced Water](#), *J. Hazard. Mater.*, **400**: 123197 (2020).
- [33] [SW-846 Test Method 9070A: n-Hexane Extractable Materials \(HEM\) for Aqueous Samples](#), Environmental Protection Agency.
- [34] [SW-846 Test Method 9071B: n-Hexane Extractable Material \(HEM\) for Sludge, Sediment, and Solid Samples](#), Environmental Protection Agency.
- [35] [EPA Method 1664 Revision A for Determination of Oil and Grease and Non Polar Material in EPA's Wastewater and Hazardous Waste Programs](#), Environmental Protection Agency.
- [36] Mir N.A., Haque M., Khan A., Muneer M., Vijayalakshmi S., [Photocatalytic Degradation of Herbicide Bentazon in Aqueous Suspension of TiO<sub>2</sub>: Mineralization, Identification of Intermediates and Reaction Pathways](#), *Environ. Technol.*, **35**: 407-415 (2014).
- [37] Mirmasoomi S.R., Mehdipour Ghazi M., Galedari M., [Photocatalytic Degradation of Diazinon Under Visible Light using TiO<sub>2</sub>/Fe<sub>2</sub>O<sub>3</sub> Nanocomposite Synthesized by Ultrasonic-Assisted Impregnation Method](#), *Sep. Purif. Technol.*, **175**: 418-427 (2016).
- [38] Fathinia S., Fathinia M., Rahmani A.A., Khataee A., [Preparation of Natural Pyrite Nanoparticles by High Energy Planetary Ball Milling as a Nanocatalyst for Heterogeneous Fenton Process](#), *Appl. Surf. Sci.*, **327**: 190-200 (2015).
- [39] Khodami Z., Nezamzadeh-Ejhieh A., [Investigation of Photocatalytic Effect of ZnO-SnO<sub>2</sub>/Nano Clinoptilolite System in the Photodegradation of Aqueous Mixture of 4-Methylbenzoic acid/2-Chloro-5-Nitrobenzoic Acid](#), *J. Mol. Catal. A Chem.*, **409**: 59-68 (2005).
- [40] Yang L., Zhou Z., Xiao L., Wang X., [Chemical and Biological Regeneration of HDTMA-Modified Montmorillonite after Sorption with Phenol](#), *Environ. Sci. Technol.*, **37**: 5057-5061 (2003).
- [41] Han R., Ding D., [Use of Rice Husk for the Adsorption of Congo Red from Aqueous Solution in Column Mide](#), *Bioresour. Technol.*, **99**: 2938-2944 (2008).

- [42] Langmuir, I., *The Adsorption of Gases on Plane Surfaces of Glass, Mica and Platinum, J. Am. Chem. Soc.*, **40(9)**: 1361-1403 (1918).
- [43] Bulut E., Ozacar M., Sengil I.A., *Equilibrium and Kinetic Data and Process Design for Adsorption of Congo Red onto Bentonite, J. Hazard. Mater.*, **154**: 613-622 (2008).
- [44] Ho Y.S., McKay G.A., *Comparison of Chemisorption Kinetic Models Applied to Pollutant Removal on Various Sorbents, Process Saf. Environ. Prot.*, **76(4)**: 332-340 (1998).
- [45] Kodama T., Harada Y., Ueda M., Shimizu K., Shuto K., Komarneni S., *Selective Exchange and Fixation of Strontium Ions with Ultrafine Na-4-mica, Langmuir*, **17**: 4881-4886 (2001).
- [46] Kuo S., Lotse G., *Kinetics of Phosphate Adsorption and Desorption by Hematite and Gibbsite, Soil Sci.*, **116**: 400-406 (1974).